



Classificação de bacias sedimentares



1978

Earth-Science Reviews, 14 (1978) 1–34
© Elsevier Scientific Publishing Company, Amsterdam — Printed in The Netherlands

1

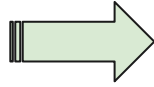
Tectonics and Sedimentation a Century Later

R.H. Dott, Jr.

"Agora que as distinções **genéticas** das classes geossinclinais estão claras, é questionável se sua nomenclatura serve ainda a algum propósito. De fato, há muitas razões para crer que essa nomenclatura mais confunde que esclarece, e que novos modelos para bacias sedimentares decorrentes da teoria das placas (Dickinson, 1974) serão mais produtivos"

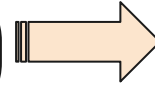
45 anos depois

Como as investigações diretas revelaram variabilidade



Novos tipos de rifts, margens passivas e bacias flexurais

Como abordagens quantitativas transformaram os modelos



Modelos geodinâmicos e estratigrafia de seqüências

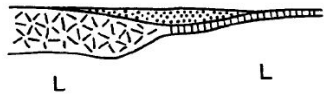
**Classificação de bacias e
Previsibilidade do preenchimento
sedimentar**

1976

Gênese : contexto e correlação



RIFTED-BASIN SEDIMENT FILL



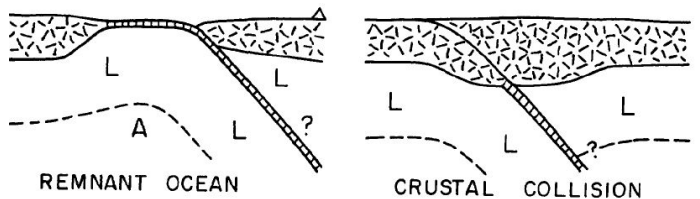
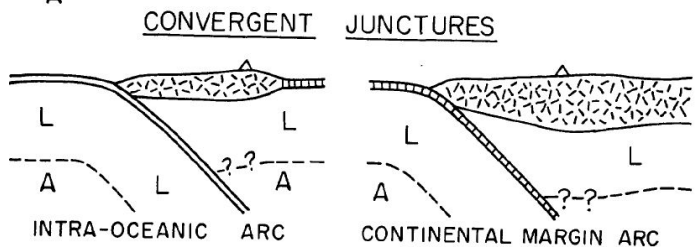
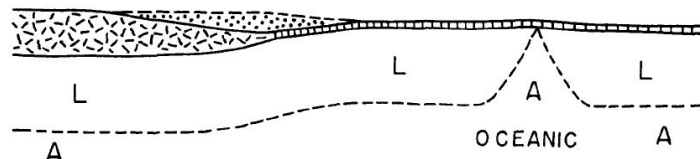
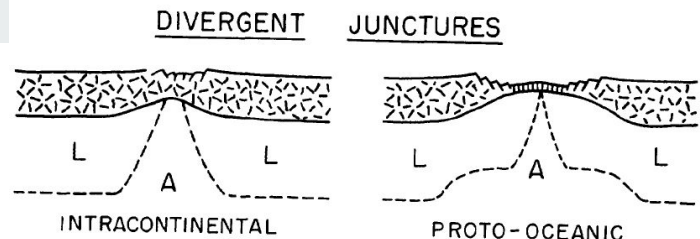
RIFTED-MARGIN SEDIMENT PRISM



SUBDUCTION
 COMPLEX



FORELAND
 FOLD-THRUST BELT



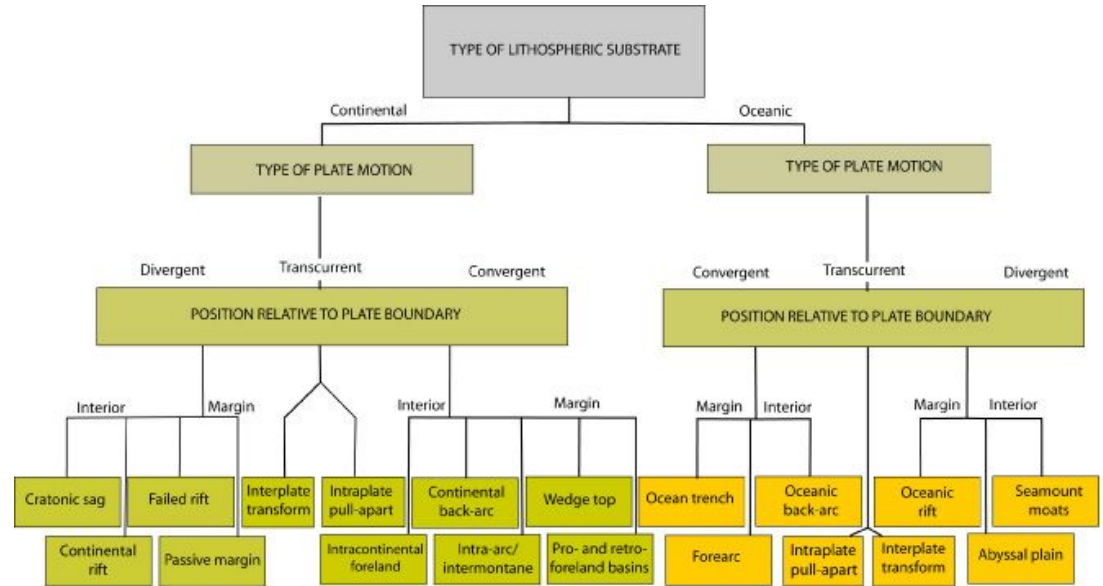
1974,
1983,
1995,
2013

Dickinson, W.R. (1974) *SEPM Special Paper 22*, 1-26.

Kingston, D.R. et al. (1983) *AAPG Bull.* **67**, 2175-2193.

Ingersoll, R.V. & Busby, C. (1995) in: Busby & Ingersoll, *Tectonics of Sedimentary Basins*. 1-51.

Allen, P.A. & Allen, J.R. (2013) *Basin Analysis* 3rd ed. 632 p.

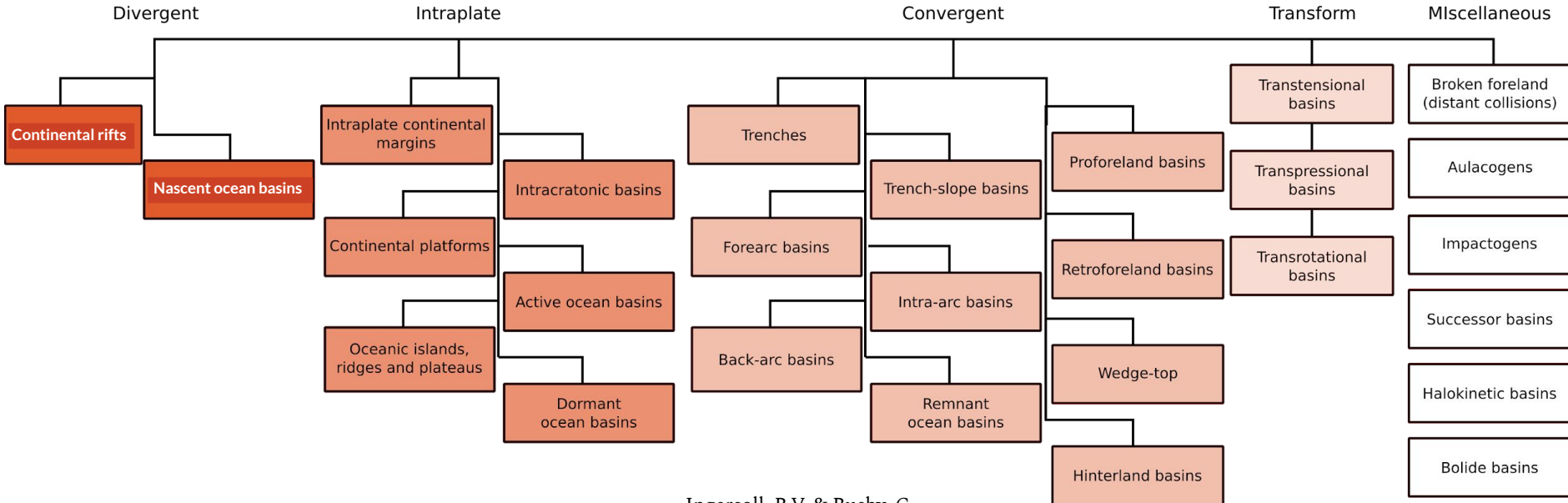


Dickinson, W.R. (1974) *SEPM Special Paper 22*, 1-26.

Allen, P.A. & Allen, J.R. (2013) *Basin Analysis* 3rd ed. 632 p.

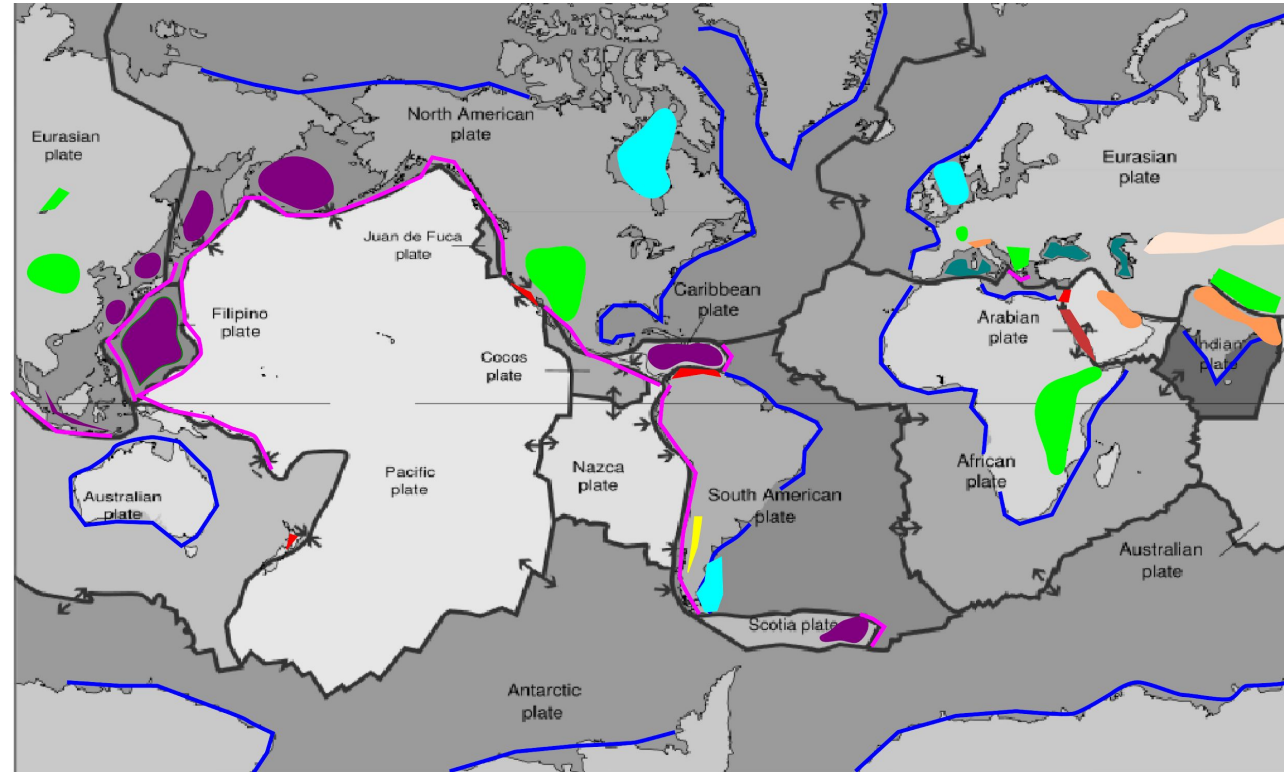
Persistência dos critérios

Tectonic setting (regarding plate interaction type)



Ingersoll, R.V. & Busby, C.
(1995) in: Busby & Ingersoll,
*Tectonics of Sedimentary
Basins*. 1-51.

Bacias e limites de placas



- | | | | |
|--------------------------------|---------------------------------|--------------------------|--------------------------------|
| Margens Passivas | Bacias de Ante Arco | Províncias Distensionais | Bacias Perifélicas de Antepaís |
| Sinéclises Intracratônicas | Bacias de Backarc | Bacias Proto-Oceânicas | Bacias Flexurais Intraplaca |
| Bacias Oceânicas Remanescentes | Bacias de Antepaís em Retroarco | Bacias Transcorrentes | |

1978

[6]

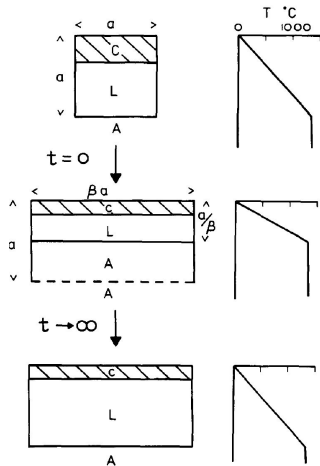
SOME REMARKS ON THE DEVELOPMENT OF SEDIMENTARY BASINS

DAN McKENZIE

Department of Geodesy and Geophysics, Madingley Rise, Madingley Road, Cambridge (England)

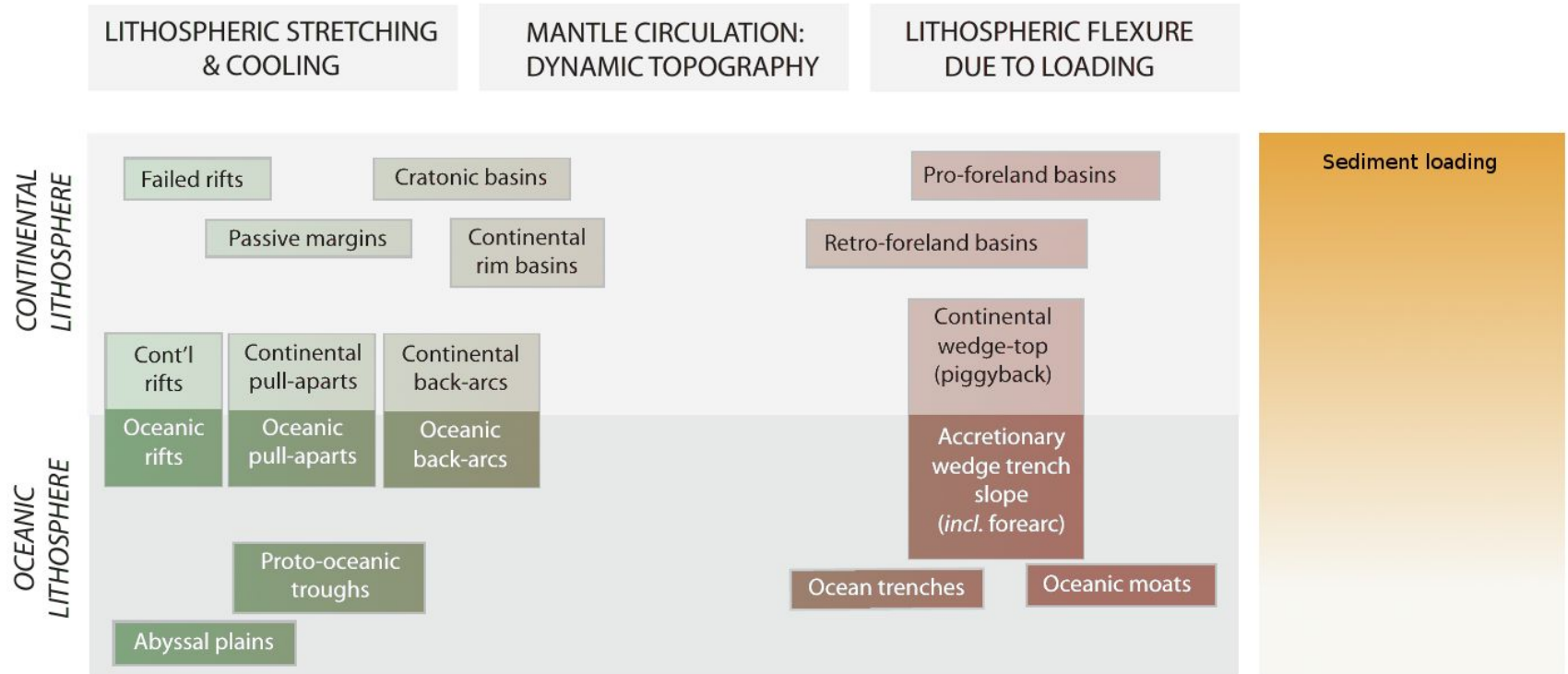
Received December 14, 1977

Revised version received March 27, 1978



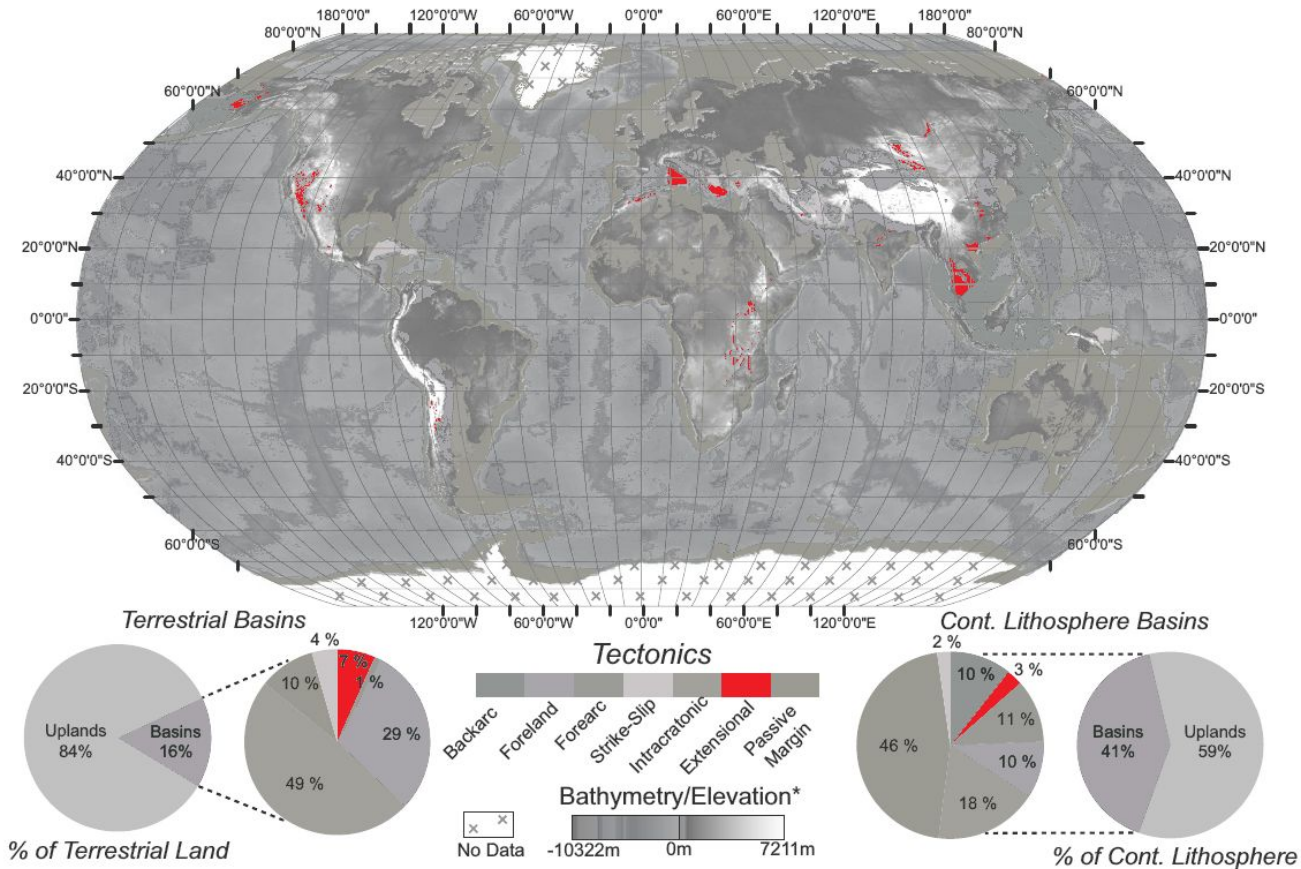
Modelo analítico para origem de bacias de subsidência térmica

Mecanismos de subsidência

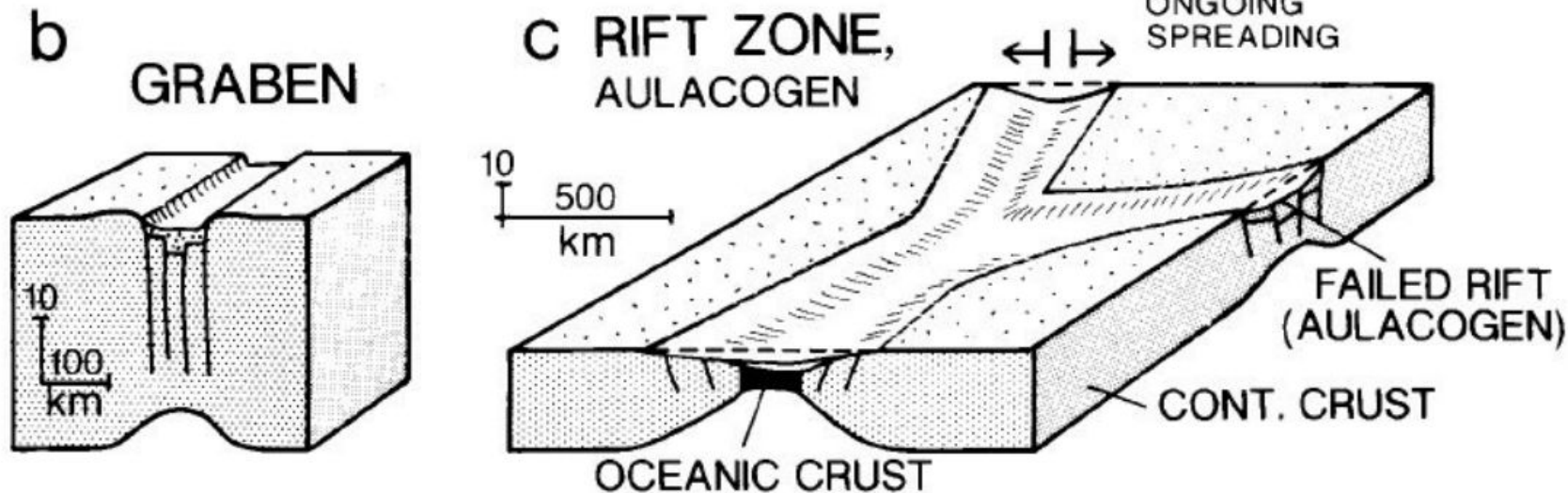


Bacias dimensionais continentais

Modificado de:
Nyberg, B., Holwell, J.A. (2015)
Geology **43**, 643-646.

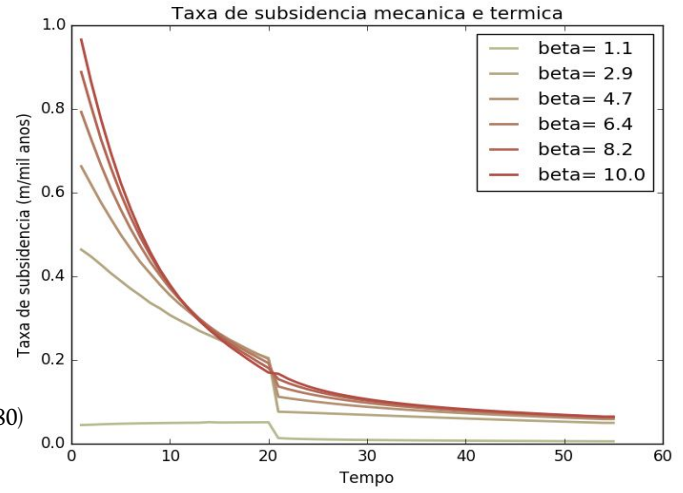
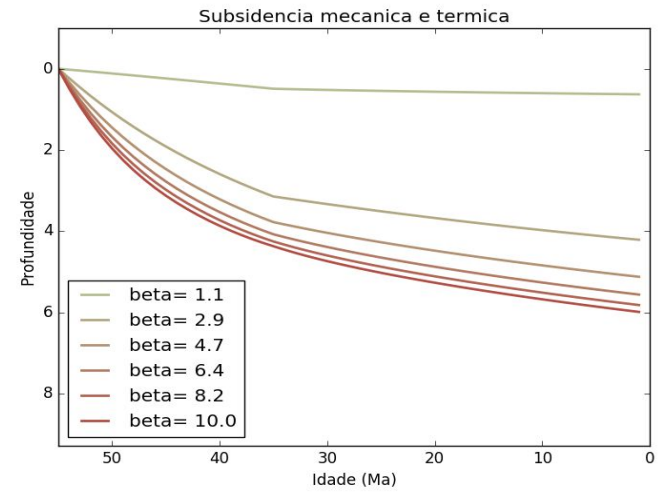
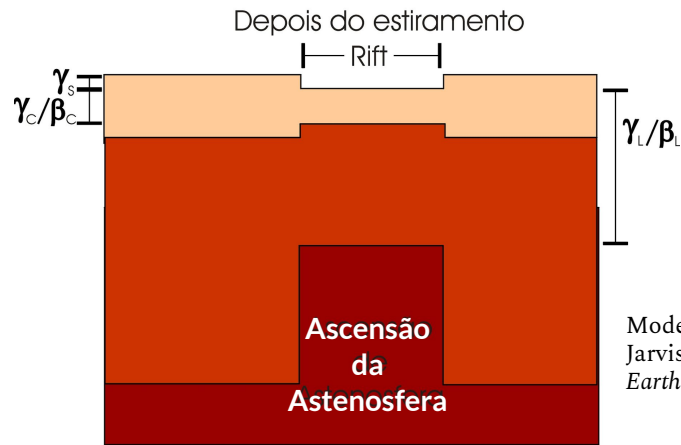


Bacias distensivas



Einsele, G. 1992. Sedimentary Basins, Evolution Facies and Sediment Budget. 2 ed, Springer, 792 p.

Subsidência mecânica e térmica

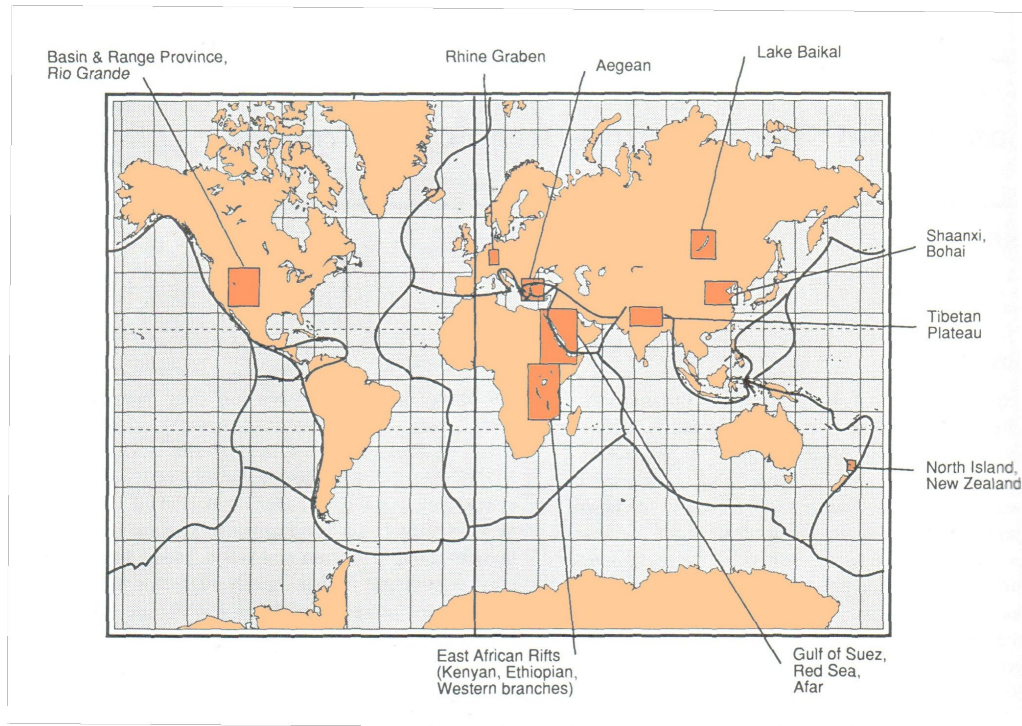


Modelo numérico baseado em:
 Jarvis, G.T. & Mackenzie, D. P. (1980)
Earth Planet. Sci. Lett. **48**, 42-52.

Rifts - limites divergentes?



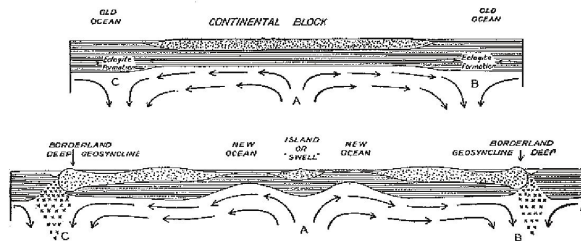
Burke, K. (1976) *Tectonophysics* **36**, 93-112.



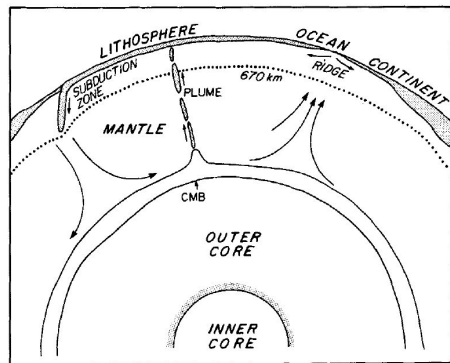
Sengor, A.M.C (1995), in: Busby & Ingersoll, *Tectonics of Sedimentary Basins*, 53-117.

Origem e magnitude dos esforços

Convexão Astenosférica



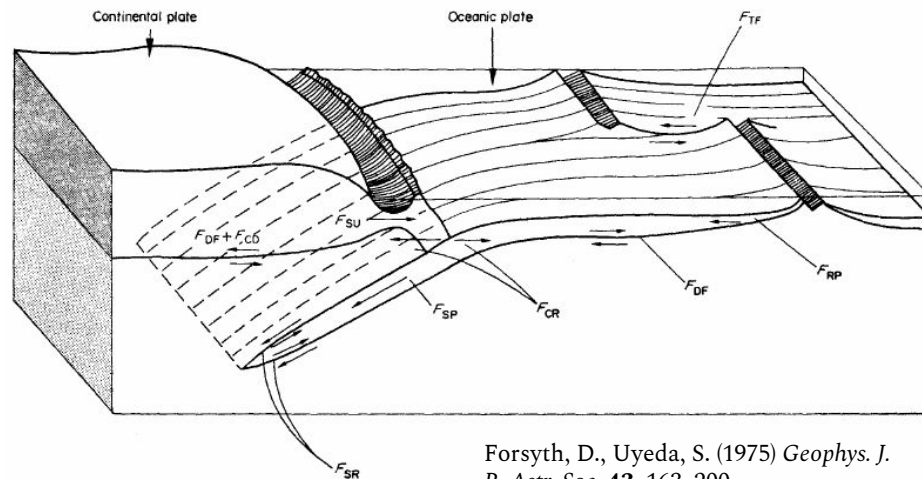
Holmes, A. (1929) *Transactions of the Geological Society of Glasgow* **18**, 559–606.



Lay, T. (1989) *Eos, Trans. Am. Geophys. Un.* **70**, 52–59.

Wilson, J.T. (1990) *Terra Nova* **2**, 519–538.

Forças gravitacionais geradas na litosfera



Forsyth, D., Uyeda, S. (1975) *Geophys. J. R. Astr. Soc.* **43**, 163–200.

Ridge push

$$2.5 \cdot 10^{12} \text{ N/m}$$

30–40 MPa em 30 km de Litosfera elástica

Bott, M.H.P. (1991) *Tectonophysics*. **200**, 17–32.

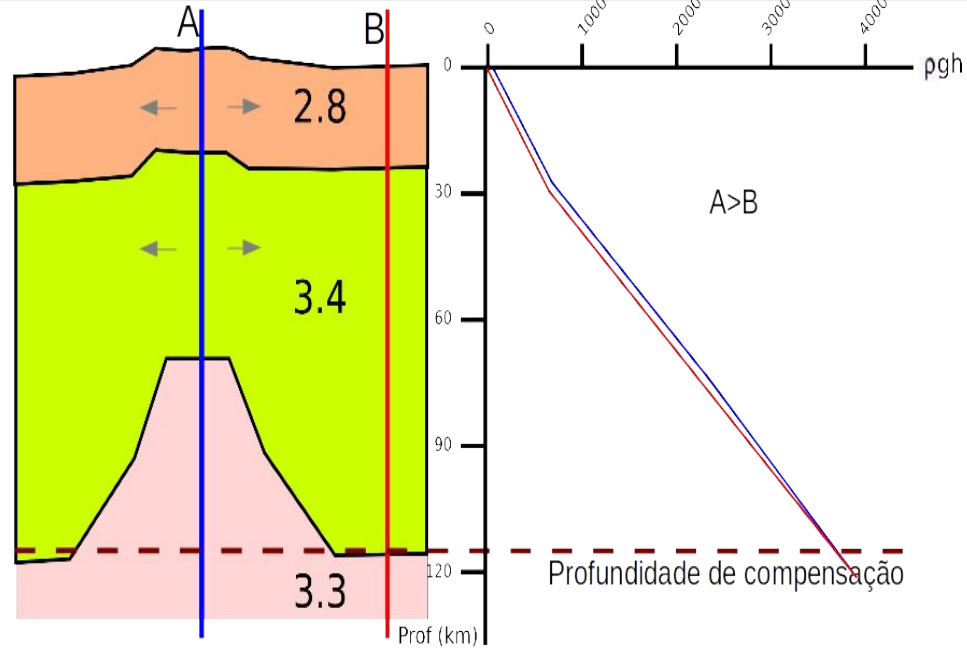
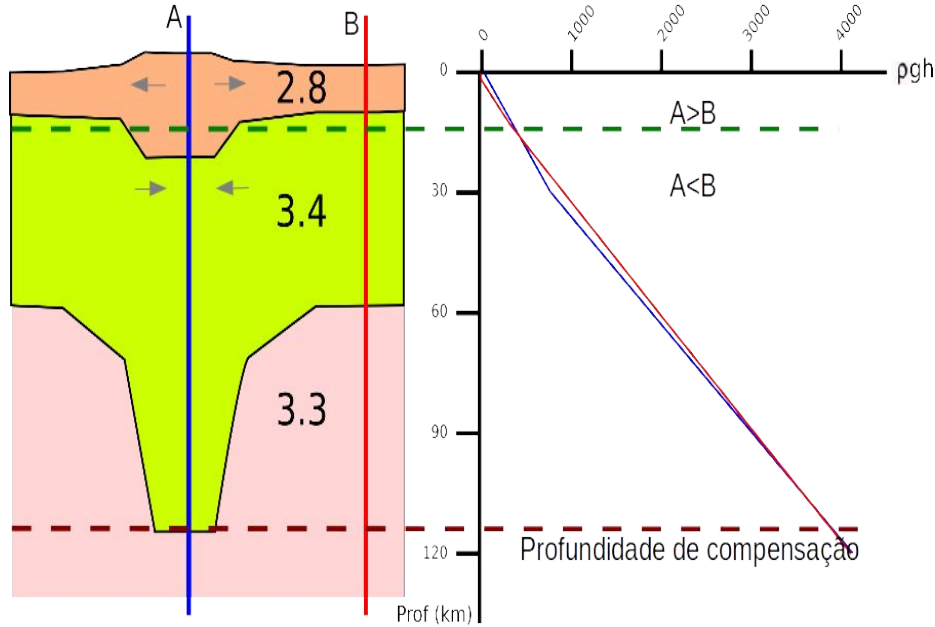
Slab pull

$$2. \text{ a } 3 \cdot 10^{12} \text{ N/m}$$

40–60 MPa em 100 km de Litosfera

Schellart, W.P. (2004) *Geophys. Res. Lett.* **31**, L07611, 1–5.

Esforços topográficos



$$\Gamma = g\rho_c h \left(S_0 + \left(\frac{\rho_m}{\rho_m - \rho_c} \right) \frac{h}{2} \right)$$

Turcotte, D.L. (1982) in: Hsu, K. (ed), *Mountain Building Processes*. 129-139.

$$\Gamma = g\rho Lh.$$

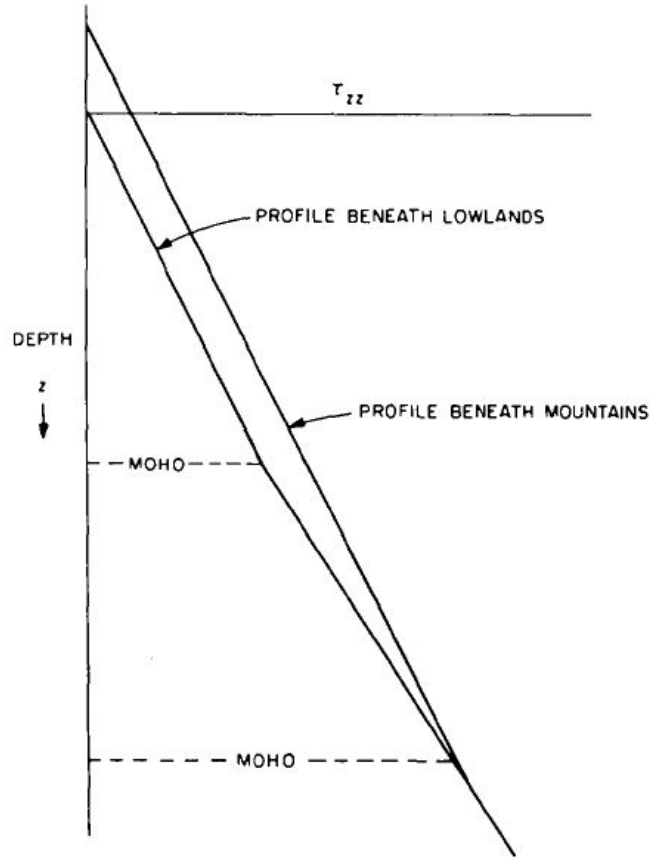
D'Agostino, N. (2014) *Earth Planet. Sci. Lett.* **397**, 121-132.

$0.8 \cdot 10^{12}$ N/m
para cada km de sobrelevação

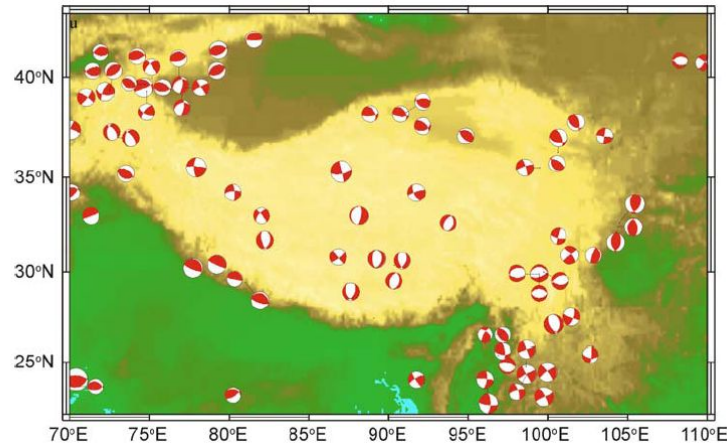
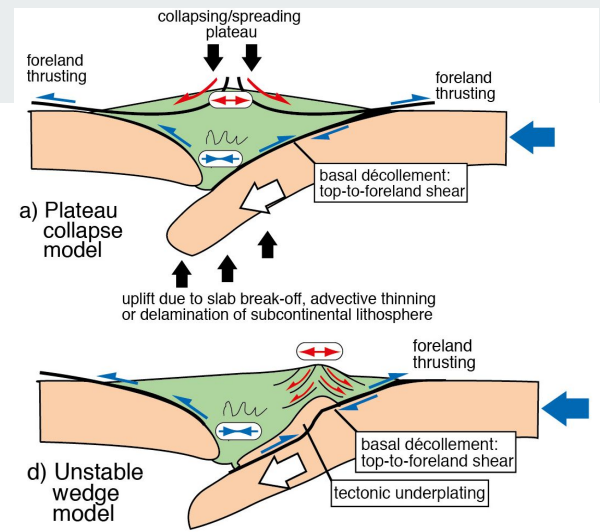
$2.7 \cdot 10^{12}$ N/m
para cada km de sobrelevação

Esforços topográficos

Dalmayrac, B. & Molnar, P. (1981)
Earth Planet. Sci. Lett. **55**, 473-481.

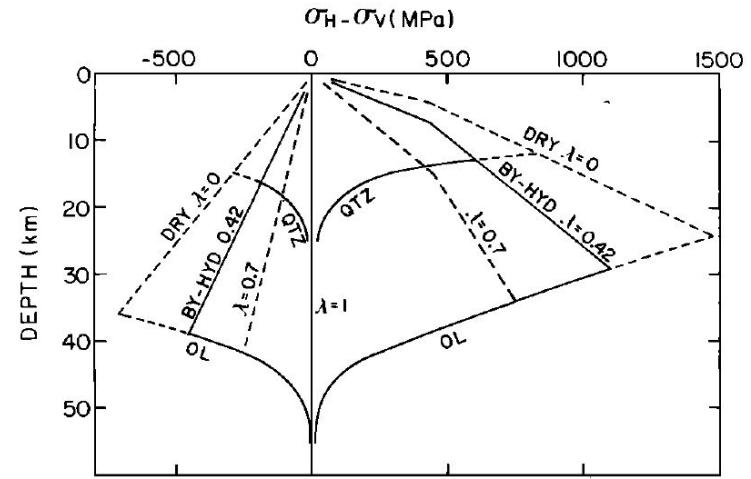
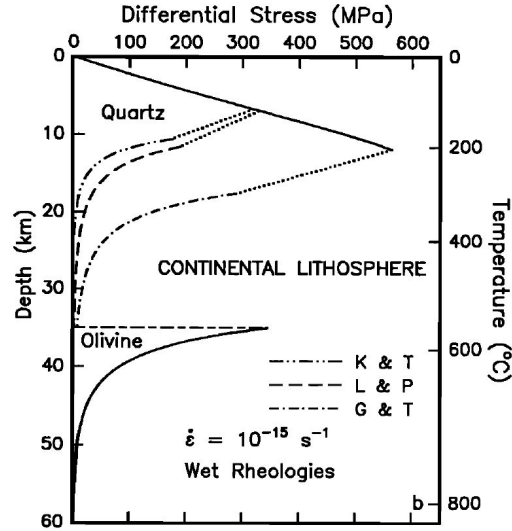
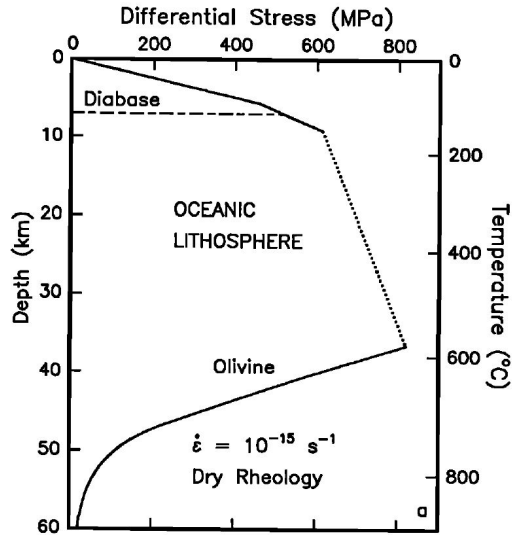


Fossen, H. (2000)
Tectonics **19**, 213-224.



Liu, M. & Yang, Y.. (2003)
J. Geophys. Res. **108**(8),
 2361.

Perfis de resistência



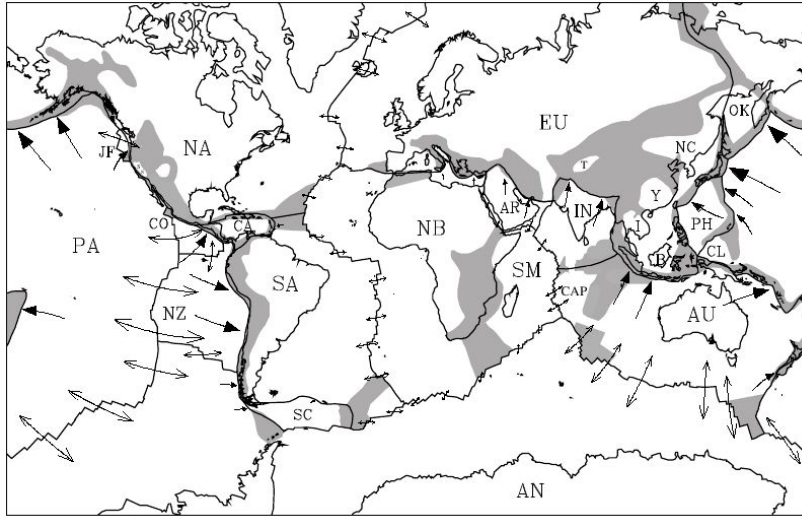
Brace, W.L. & Kohlstedt., D.L. (1980) *J. Geophys. Res.* **85**, 6248-6252.

Molnar, P. (1988) *Nature* **335**, 131-137.

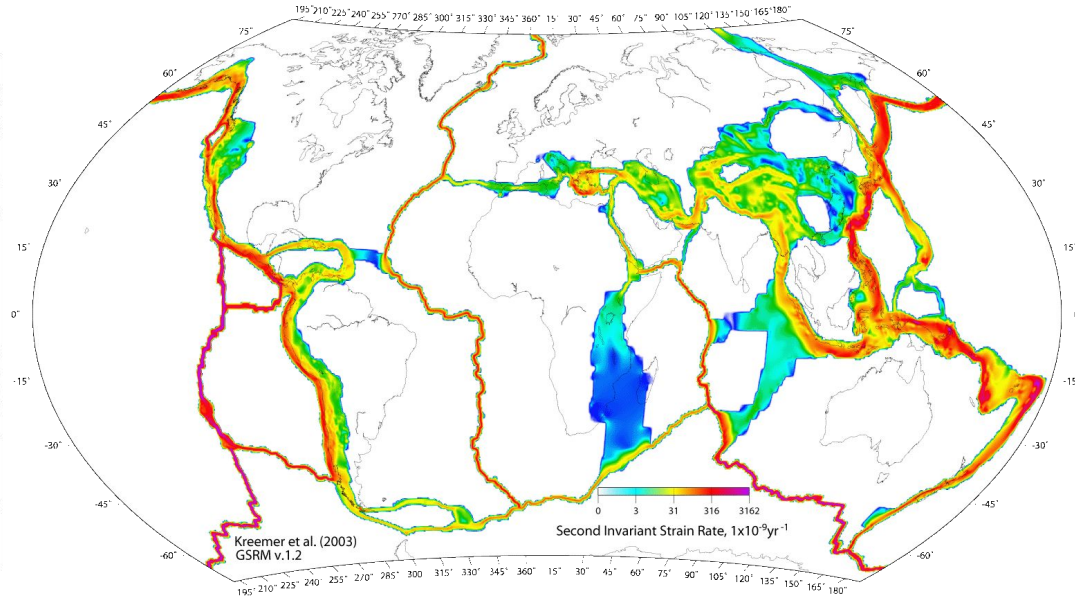
Kohlstedt., D.L. et al. (1995) *J. Geophys. Res.* **100**, 17587-17602.

"Em resumo, a tectônica de placas é uma aproximação ruim para a tectônica de muitas regiões **continentais** posto que vastas porções da crosta e manto continentais não se movem juntas como parte de uma mesma placa rígida e coerente."

Deformação e limites de placas



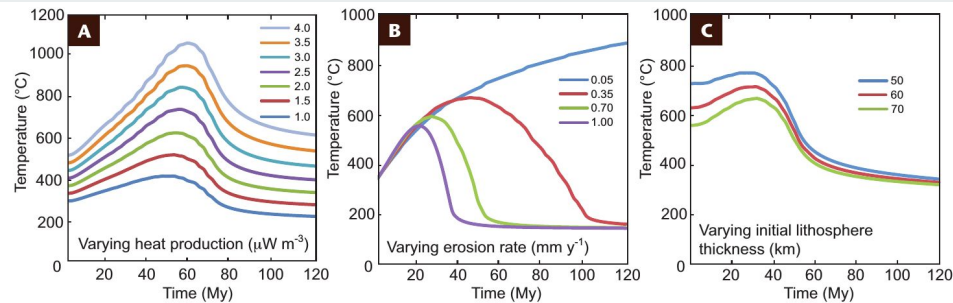
Gordon, R.G. (1998) *Annu. Rev. Earth Planet. Sci.* **26**, 615-642.



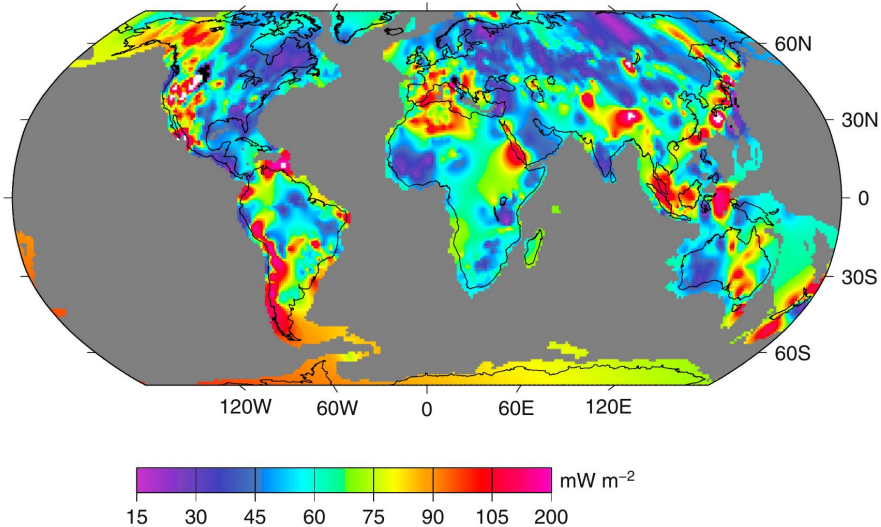
Kreemer, C. et al. (2003) *Geophys. J. Int.* **154**, 8-34.

Calor e resistência

Clark, C. et al. (2011)
Elements 7, 235-240.

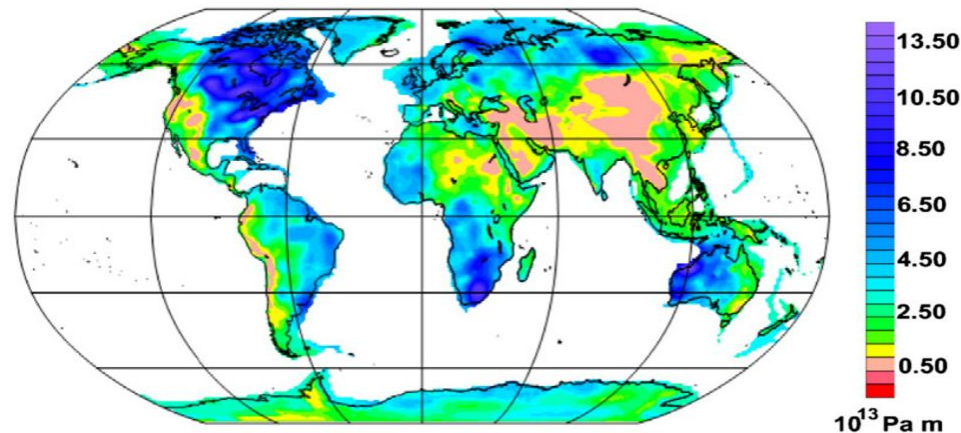


Fluxo térmico



Jaupart, C. et al. (2016)
Lithos 262, 398-427.

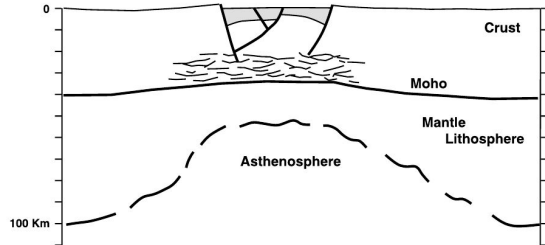
Resistência



Tesauro, M. et al. (2013)
Tectonophysics 602, 78-86.

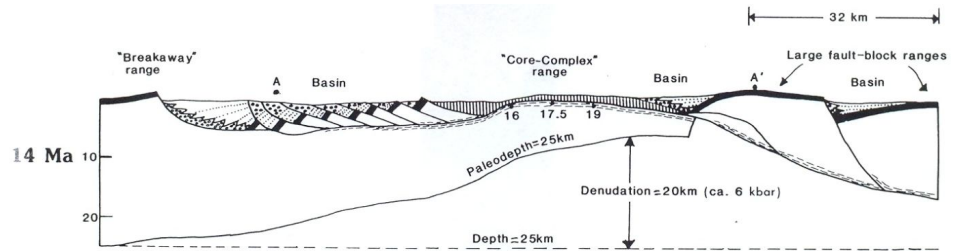
Rifts continentais

Afrotipo *sensu* Sengor (1995)



Morley, C.K. et al. (1999)
AAPG Studies in Geology. **44**,
1-18.

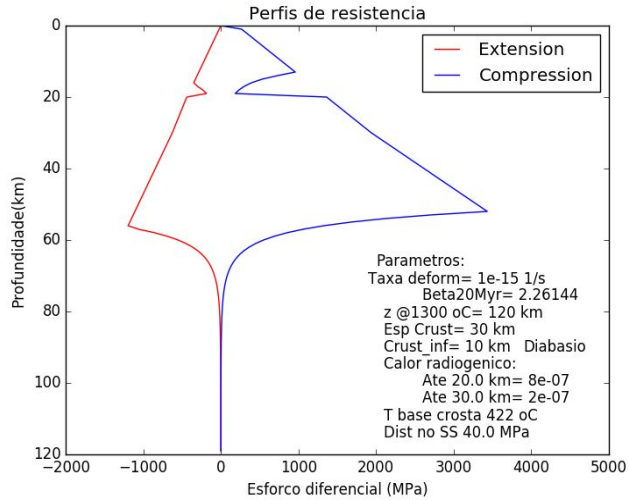
Amerotipo *sensu* Sengor (1995)



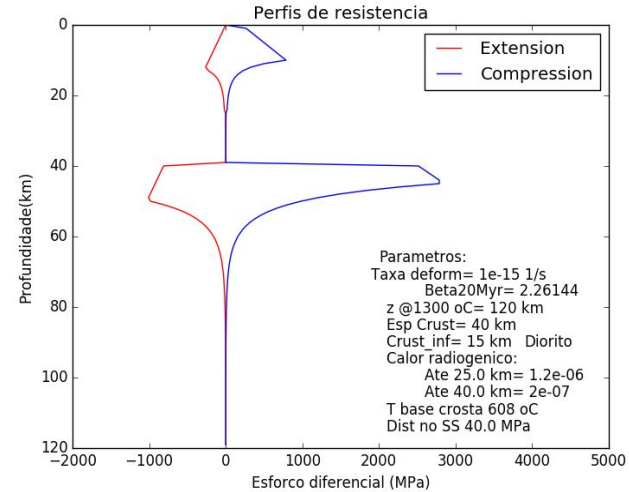
Wernicke, B. (1985) *Can. J. Earth
Sci.* **22**, 108-125.

Reologia e estilo estrutural

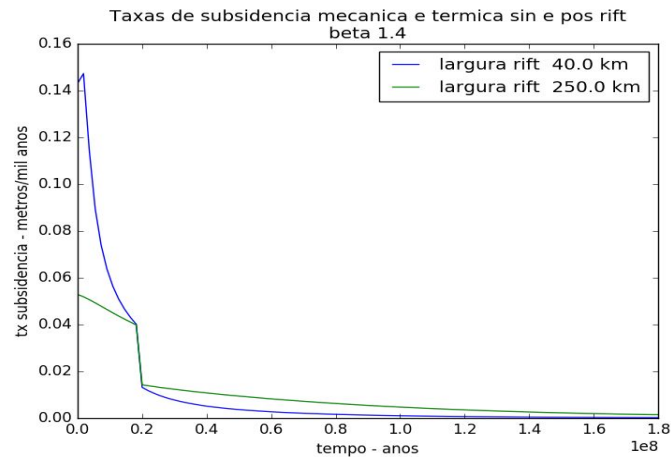
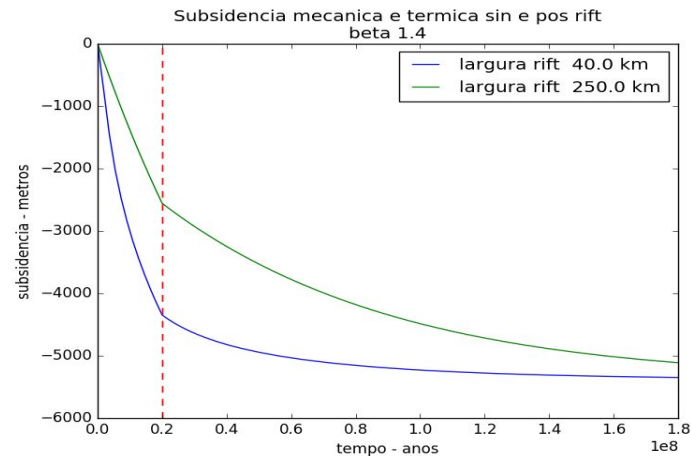
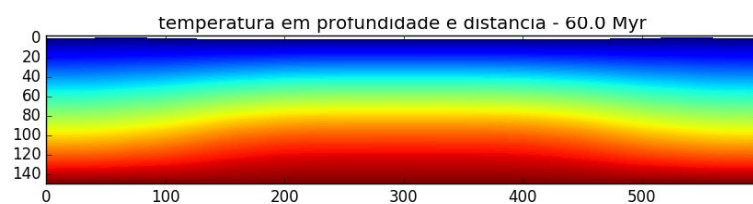
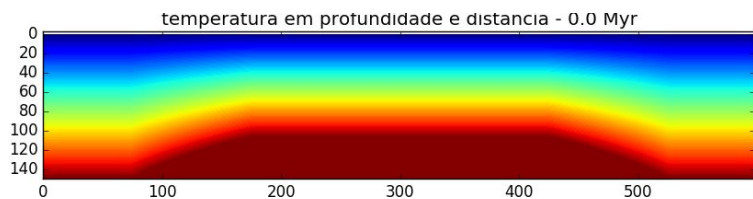
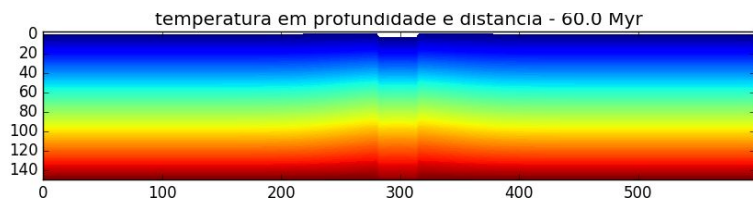
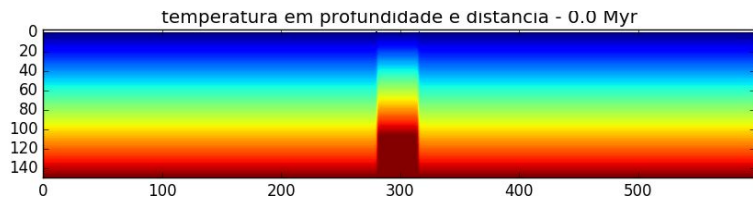
Afrotipo *sensu* Sengor (1995)



Amerotipo *sensu* Sengor (1995)

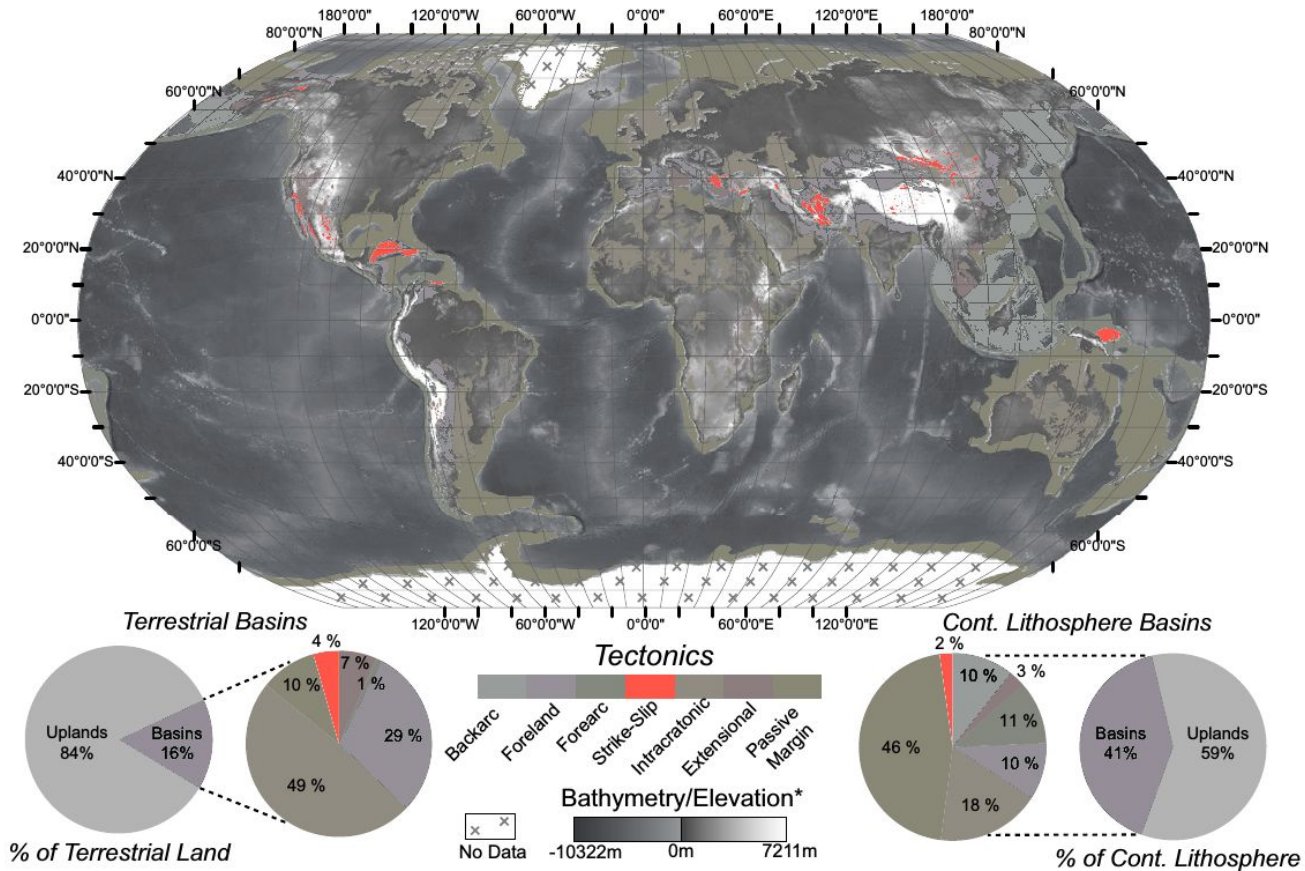


Reologia, estilo estrutural e subsidência

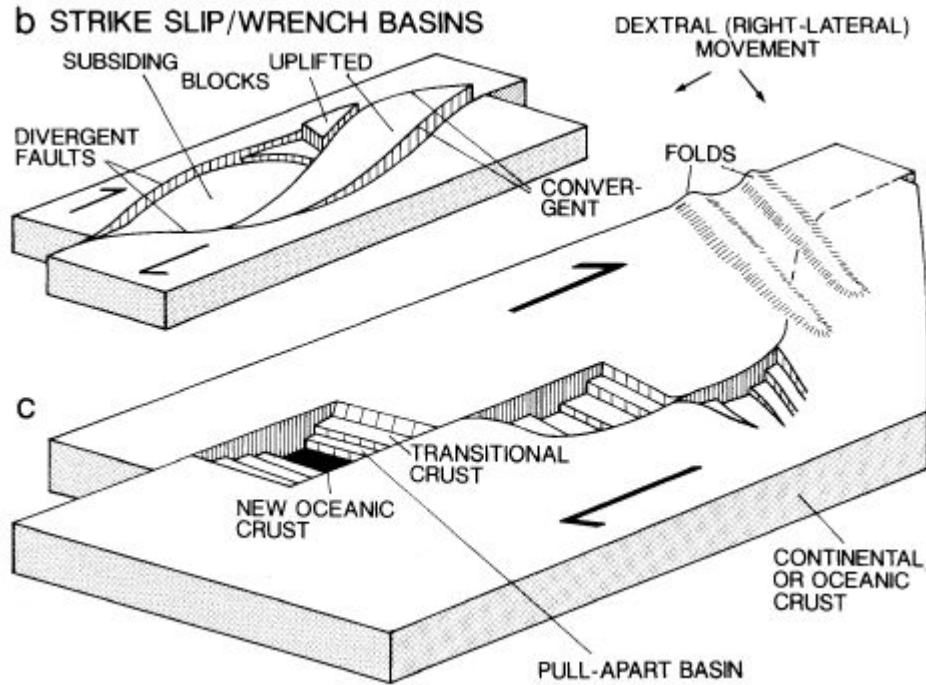


Bacias transcorrentes vs. rifts oblíquos

Modificado de:
Nyberg, B., Holwell, J.A. (2015)
Geology **43**, 643-646.

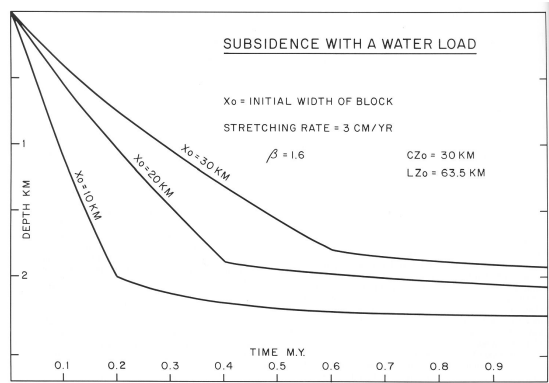


Bacias transcorrentes

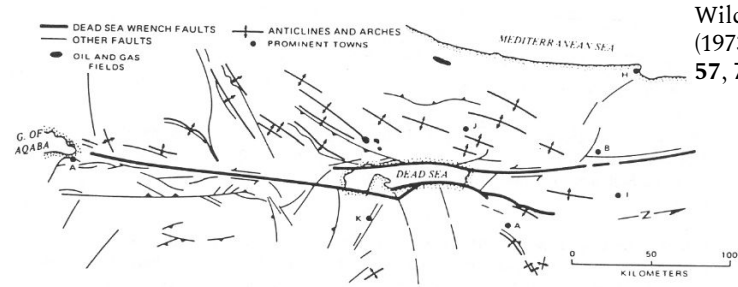


Einsele, G. 1992. Sedimentary Basins, Evolution Facies and Sediment Budget. 2 ed, Springer, 792 p.

Bacias transcorrentes

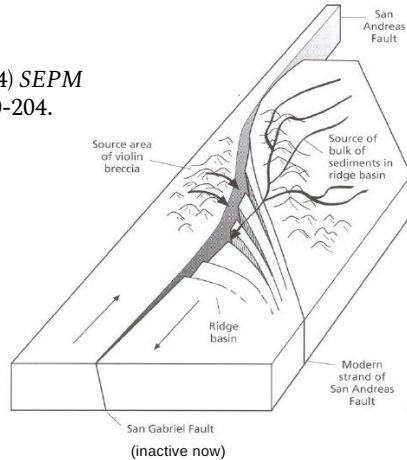


Pitman, W.C. & Andrews, J.A. (1985) *SEPM Spec. Publ.* 37, 45-49.

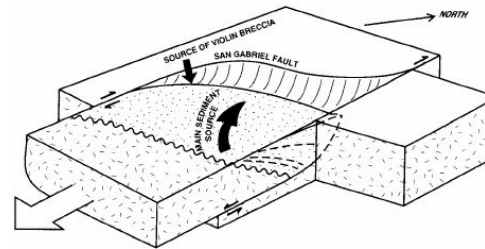


Wilcox, R.E. et al. (1973) *AAPG Bull.* 57, 74-95.

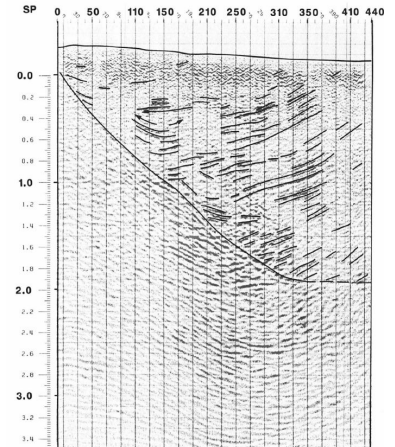
Crowell, J.C. (1974) *SEPM Spec. Publ.* 22, 190-204.



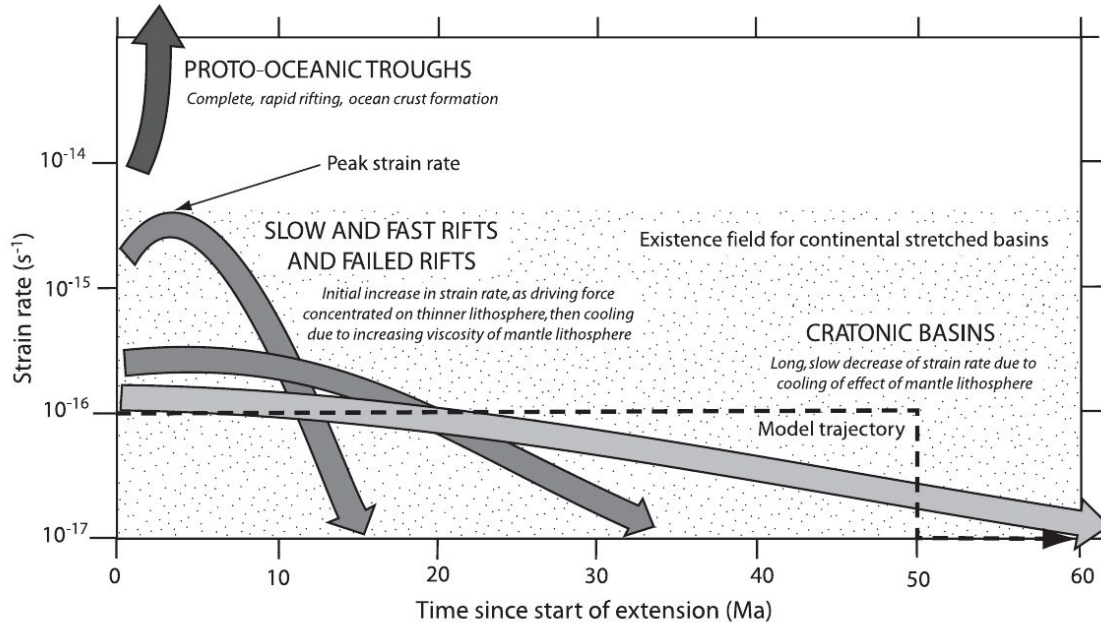
Ridge Basin



May, S.R. (1993) *GSA Bull.* 105, 1357-1372.



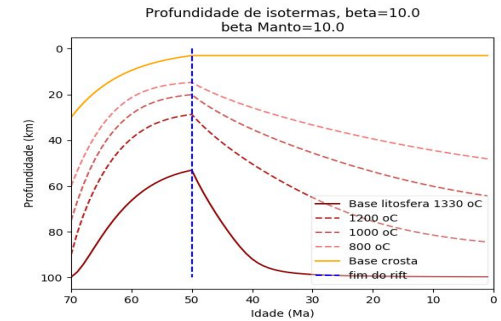
Taxa de deformação e abertura de oceanos



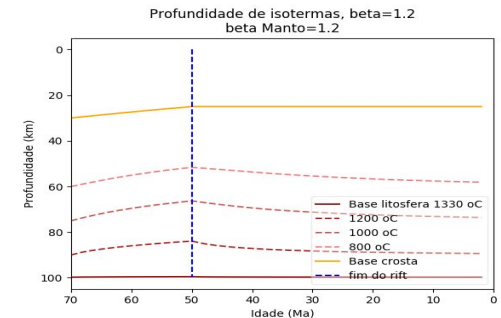
Armitage., J.J. & Allen, P.A. (2010) *J. Geol. Soc.* **167**, 61-70.

Modificado de:
Newman, R. & White, N. (1999) *Phil. Trans. R. Soc. Lond.* **357**, 805-834.

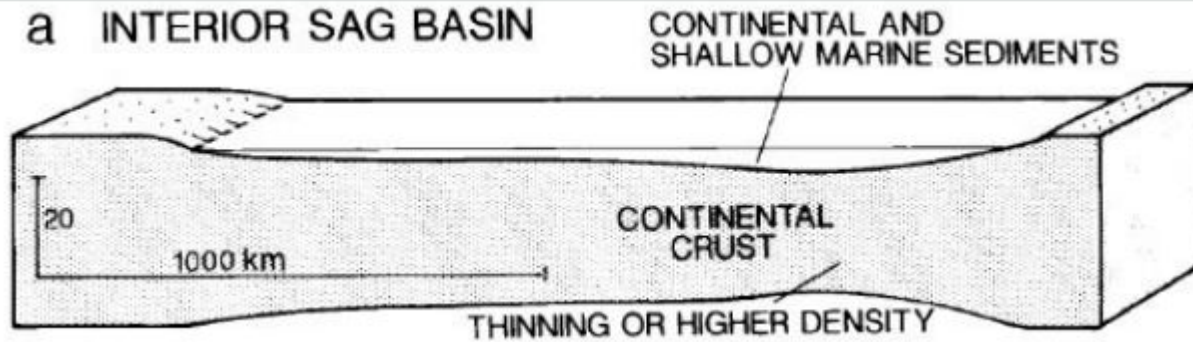
Taxa de deformação $10^{-14} s^{-1}$



Taxa de deformação $10^{-15} s^{-1}$



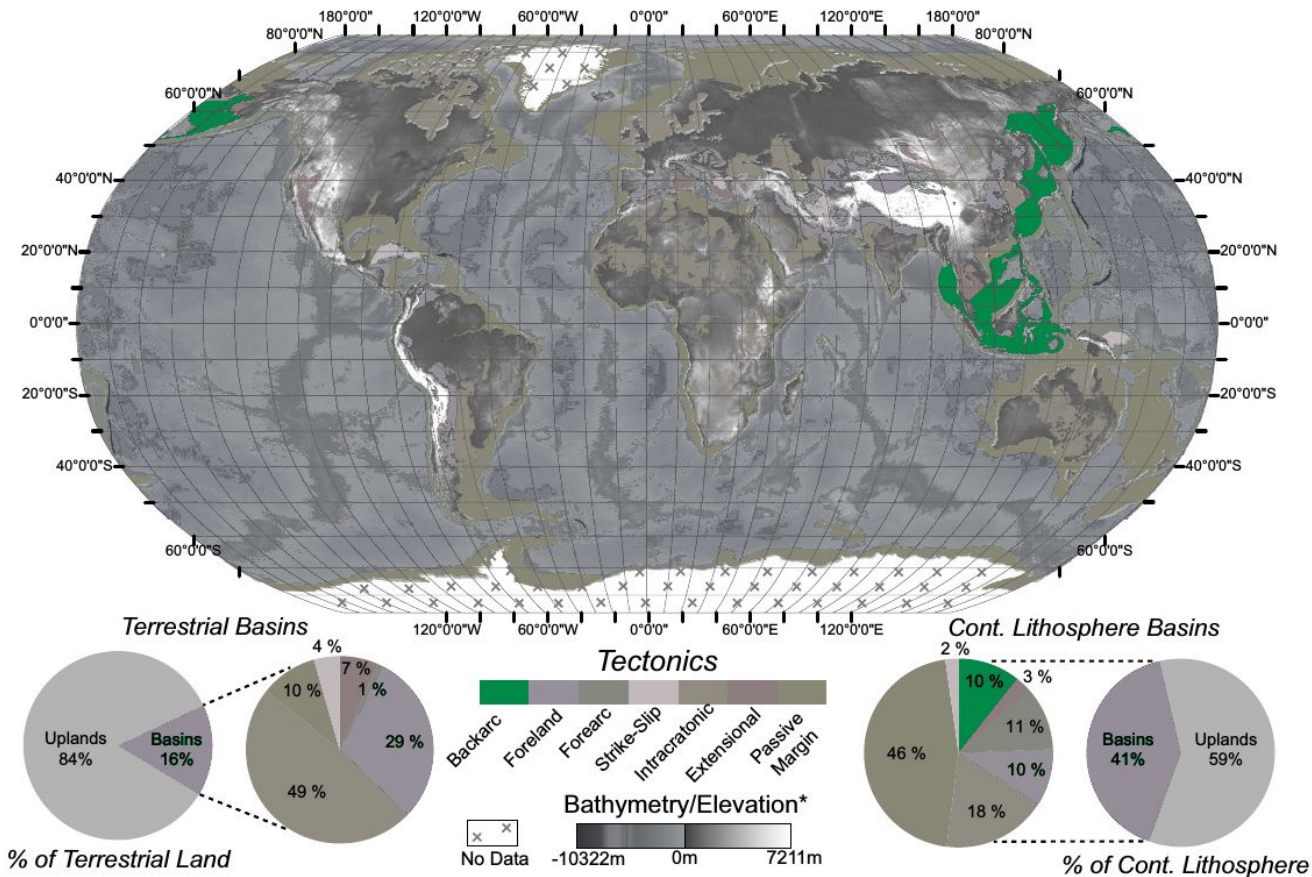
Sinéclises intraplaca



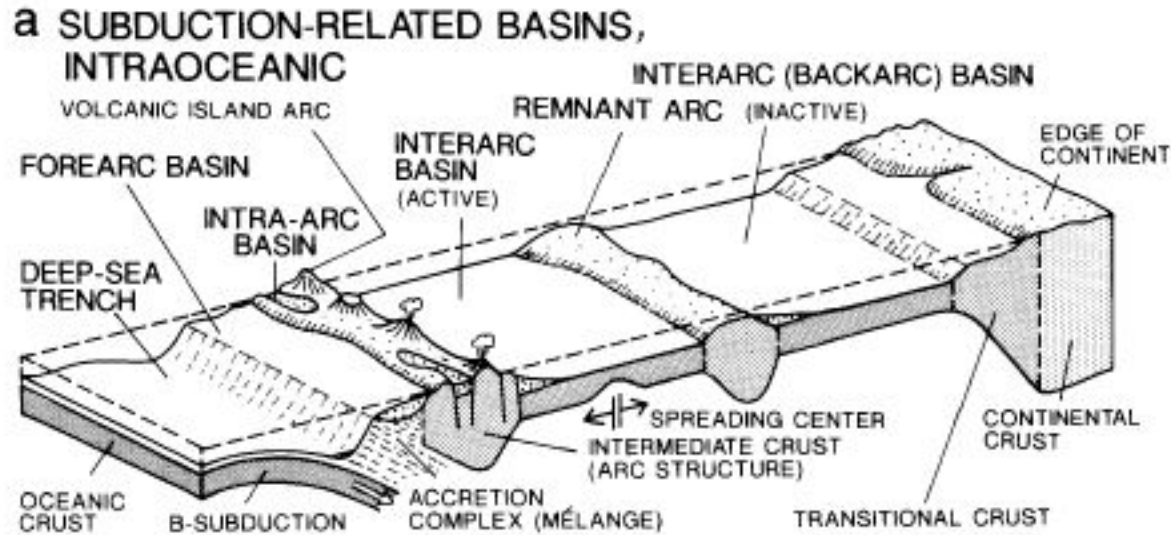
Einsele, G. 1992. Sedimentary Basins, Evolution Facies and Sediment Budget. 2 ed, Springer, 792 p.

Abertura de oceano em “backarc”

Modificado de:
Nyberg, B., Holwell, J.A. (2015)
Geology **43**, 643-646.

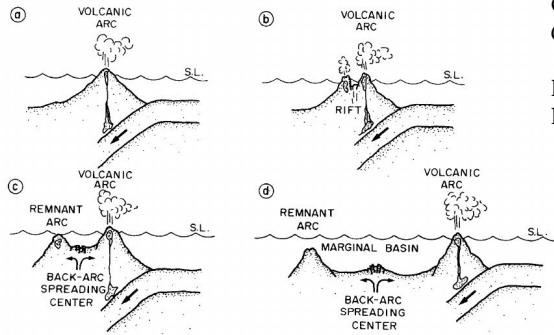


Bacias de Backarc



Einsele, G. 1992. Sedimentary Basins, Evolution Facies and Sediment Budget. 2 ed, Springer, 792 p.

Distensão intra-arco



Carey, S. & Sigurdsson, H. (1984)
Geol. Soc. London Spec. Publ. **36**, 17-58.

Baseado em:
 Karig, D.E. (1971) *J. Geophys. Res.* **76**, 2542-2561.

Tamaki, K. & Honza, E.
 (1991) *Episodes* **14**, 224-230.

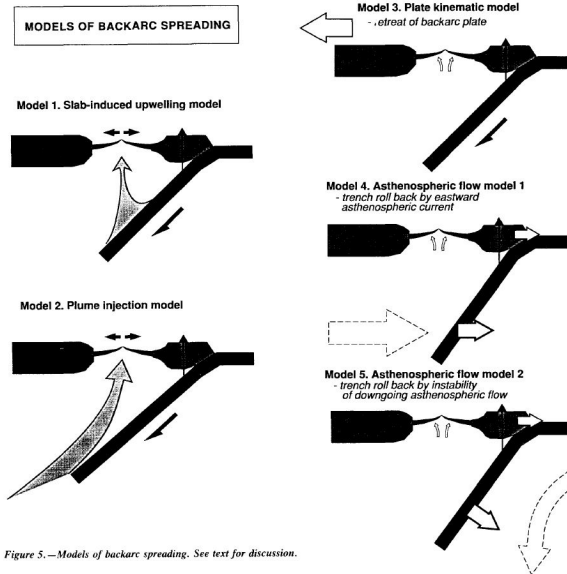
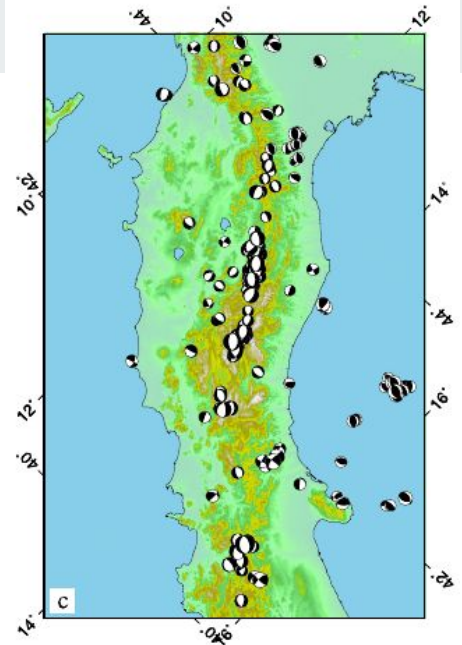


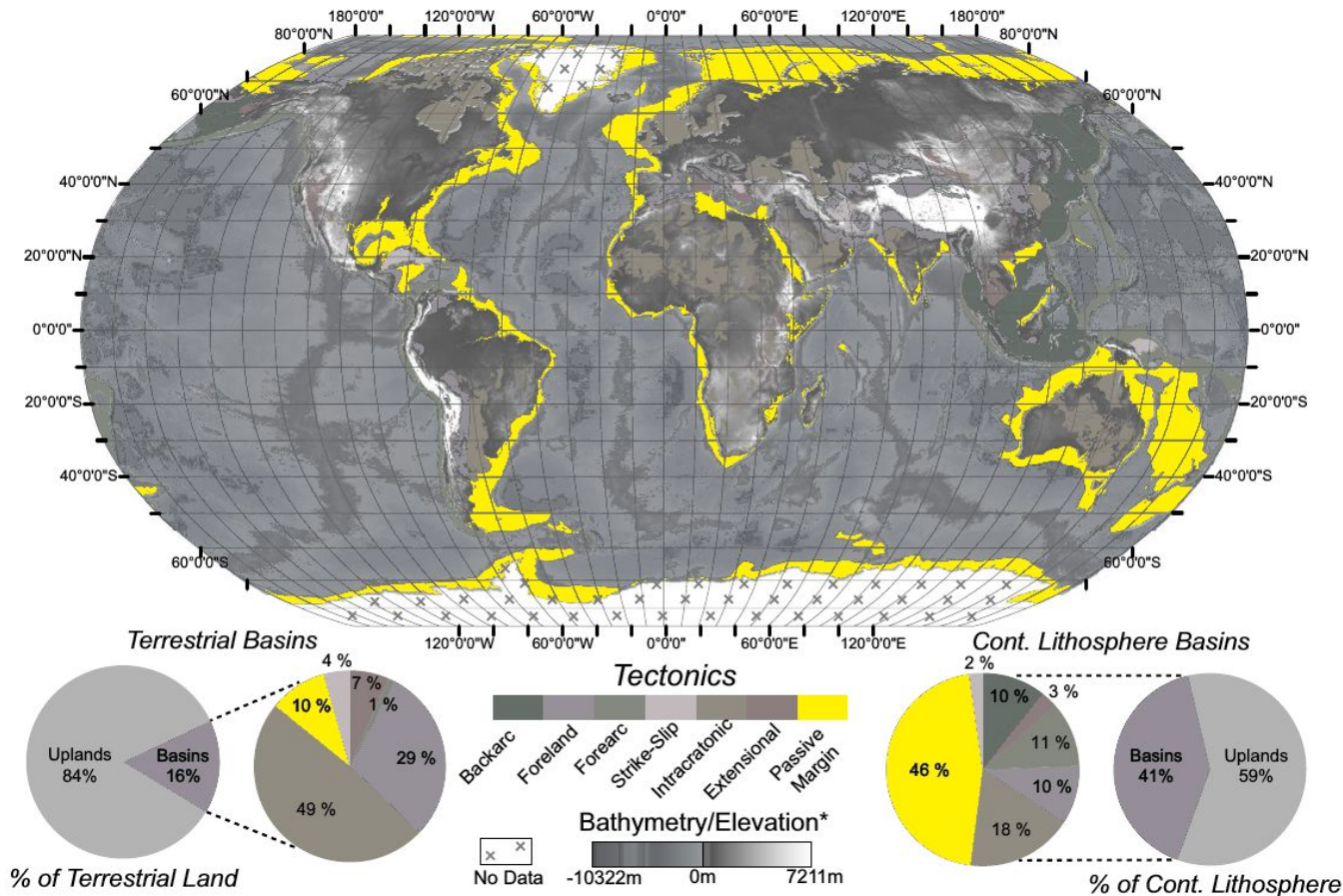
Figure 5.—Models of backarc spreading. See text for discussion.



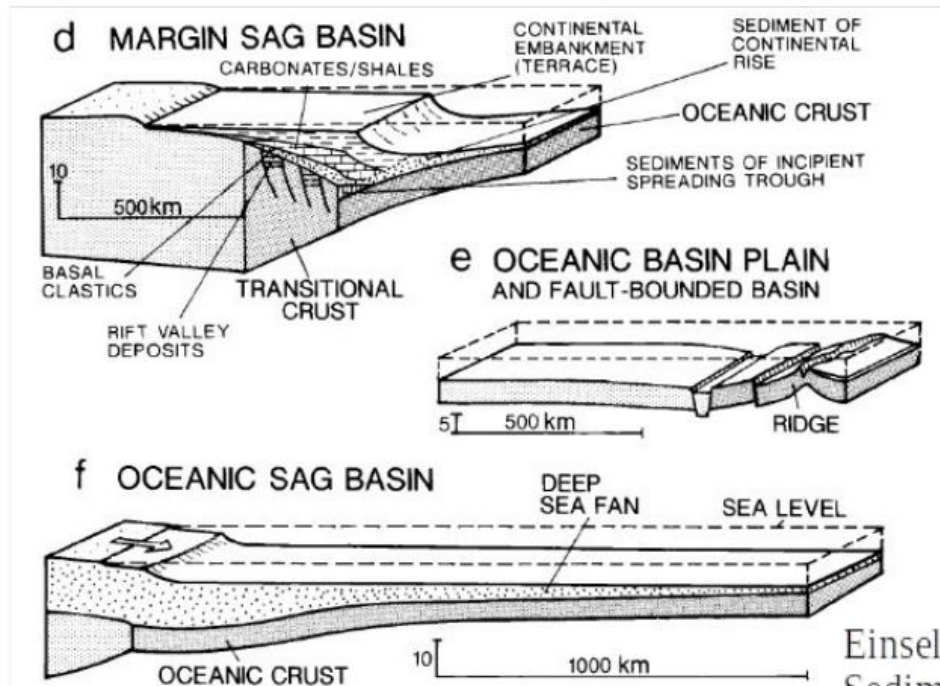
D'Agostino, N. (2014)
Earth Planet. Sci. Lett. **397**, 121-132.

Margens tipo Atlântico

Modificado de:
Nyberg, B., Holwell, J.A. (2015)
Geology 43, 643-646.



Margens distendidas

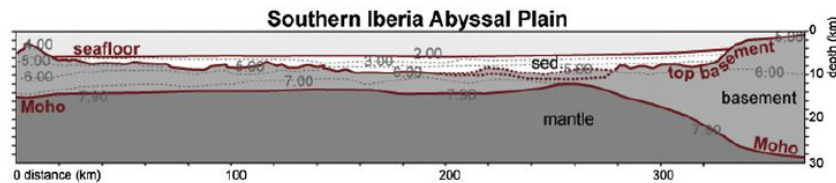
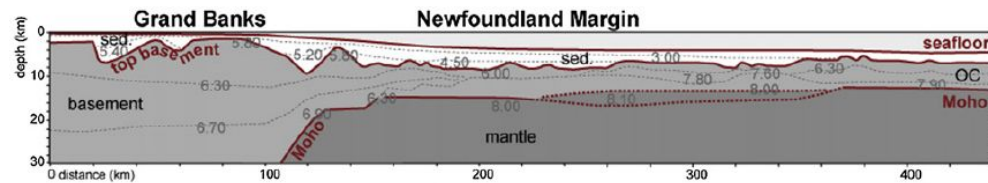


Einsele, G. 1992. Sedimentary Basins, Evolution Facies and Sediment Budget. 2 ed, Springer, 792 p.

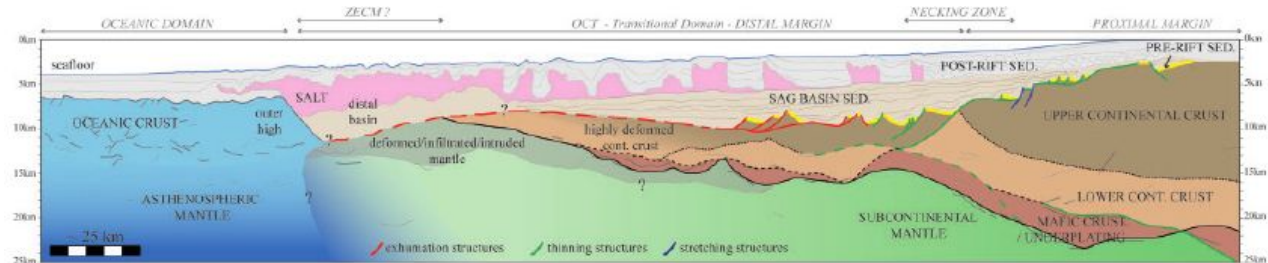
A abertura de oceanos-hiperdistensão

Sag em crosta hiper-distendida

Peron-Pinvidic, G. et al. (2013)
Mar. Pet. Geol **43**, 21-47.

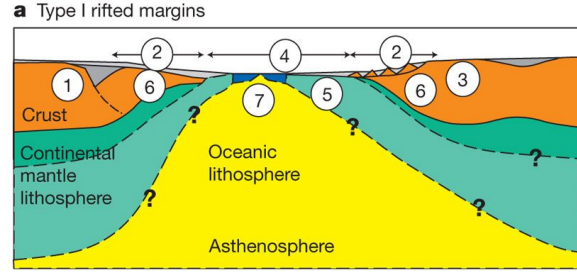


Unternehr, P. et al. (2010) *Pet. Geosc.* **16**, 207-215.

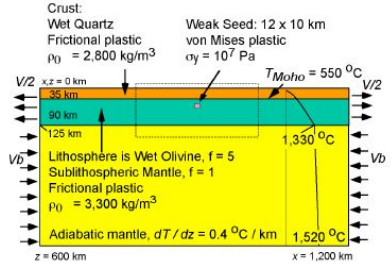


A abertura de oceanos- Reologia e geometria

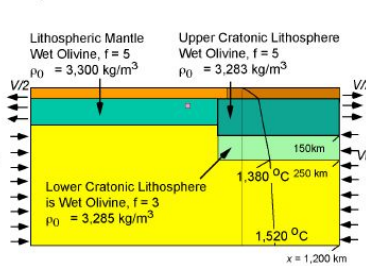
Huismans, R. & Beaumont, C. (2011)
Nature 473, 74-78.



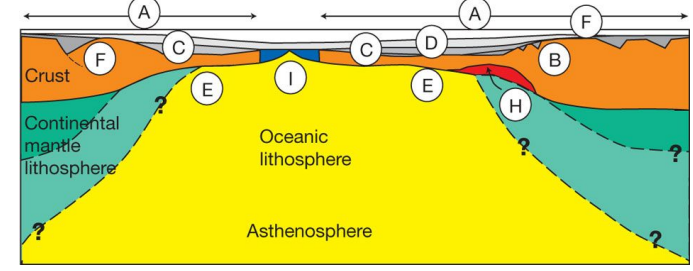
a) Model I



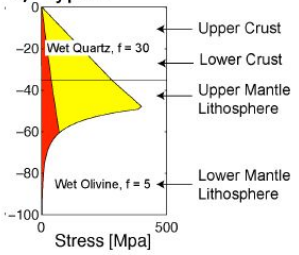
b) Model II-A and Model II-C



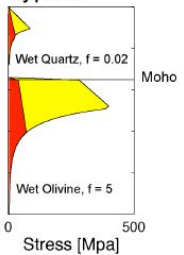
b Type II rifted margins



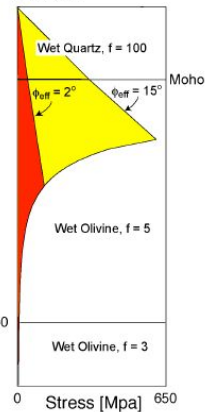
c) Type I



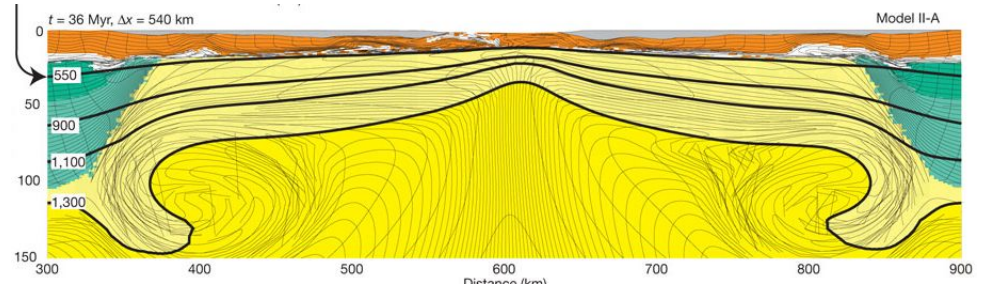
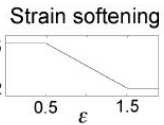
Type II



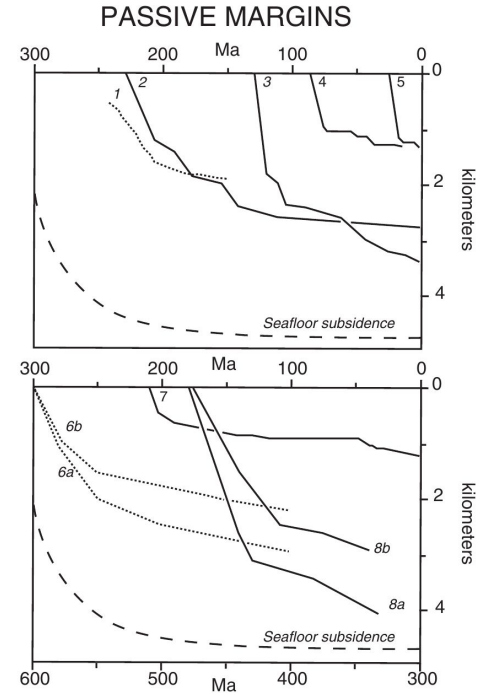
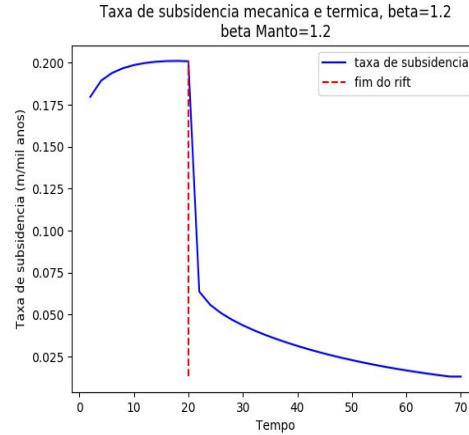
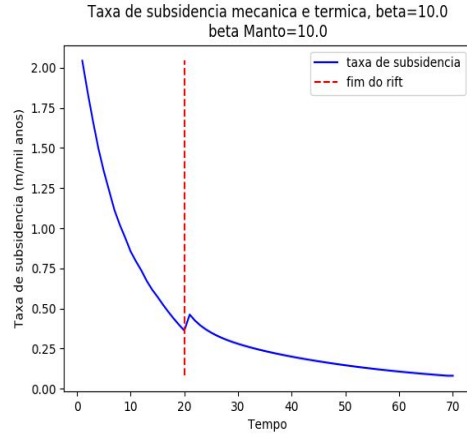
Craton



d)

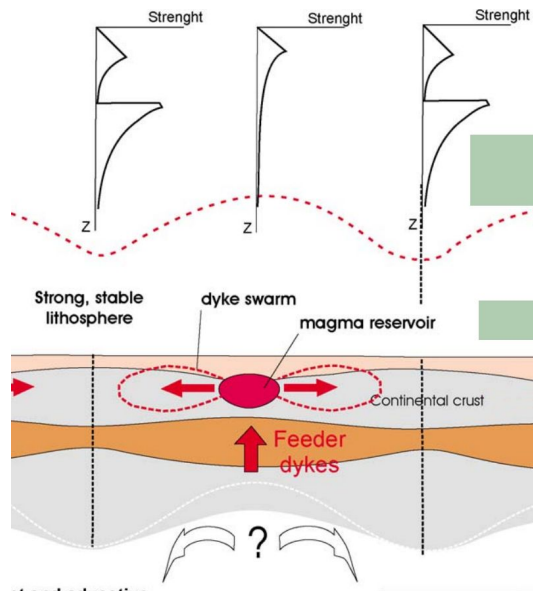


Hiperdistensão e subsidência

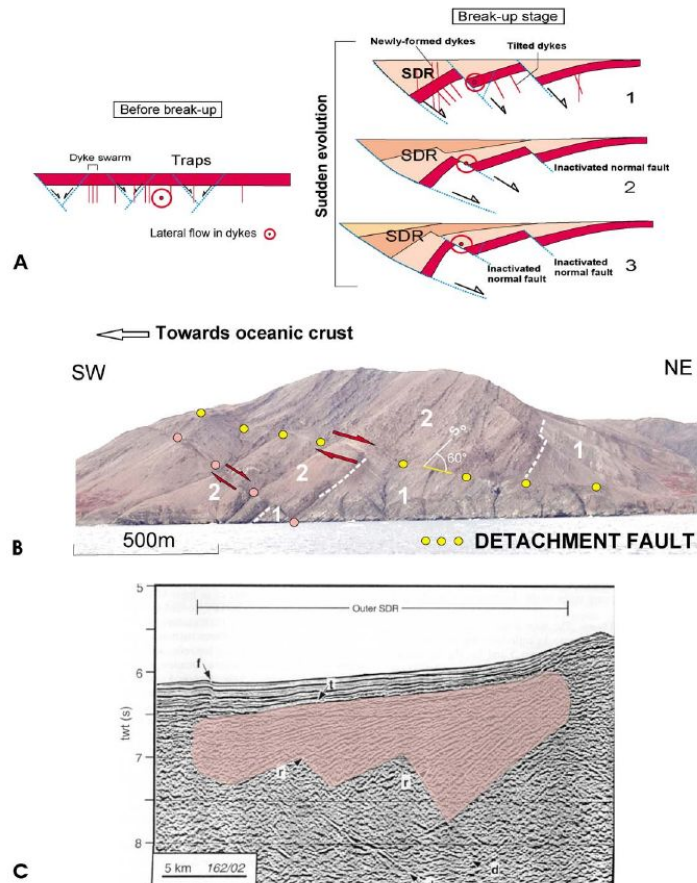


Xie, X. & Heller, P.L. (2009) *GSA Bull.* **121**, 55-64.

A abertura de oceanos - vulcanismo

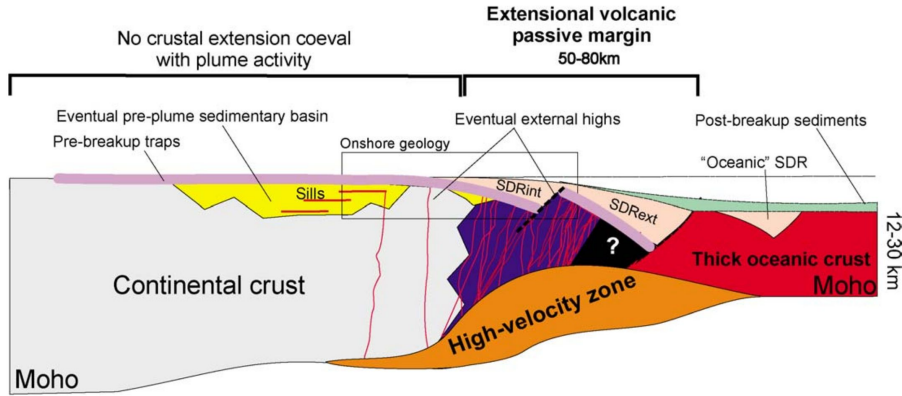


Geoffroy, L. (2005) *Geoscience* 337, 1395-1408.

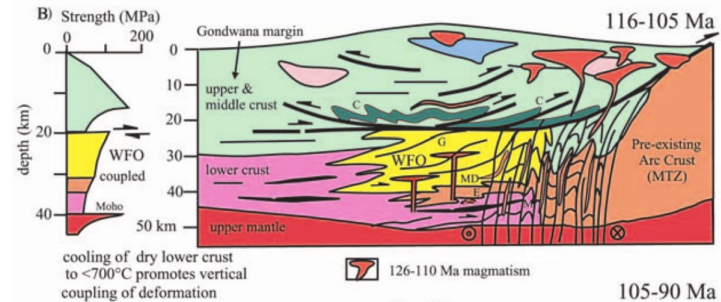
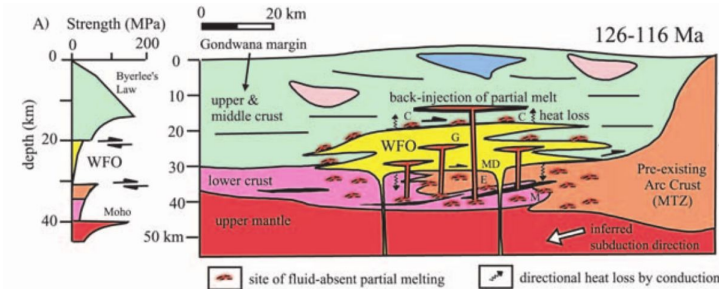
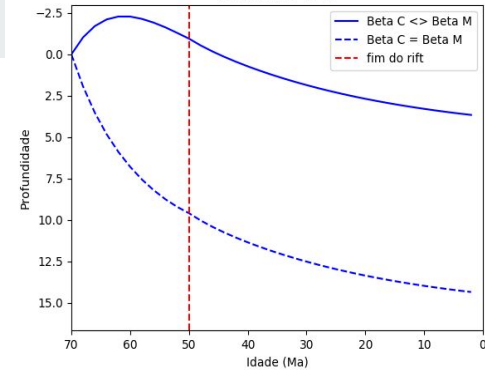


A abertura de oceanos - vulcanismo

Geoffroy, L. (2005) *Geoscience* 337, 1395-1408.

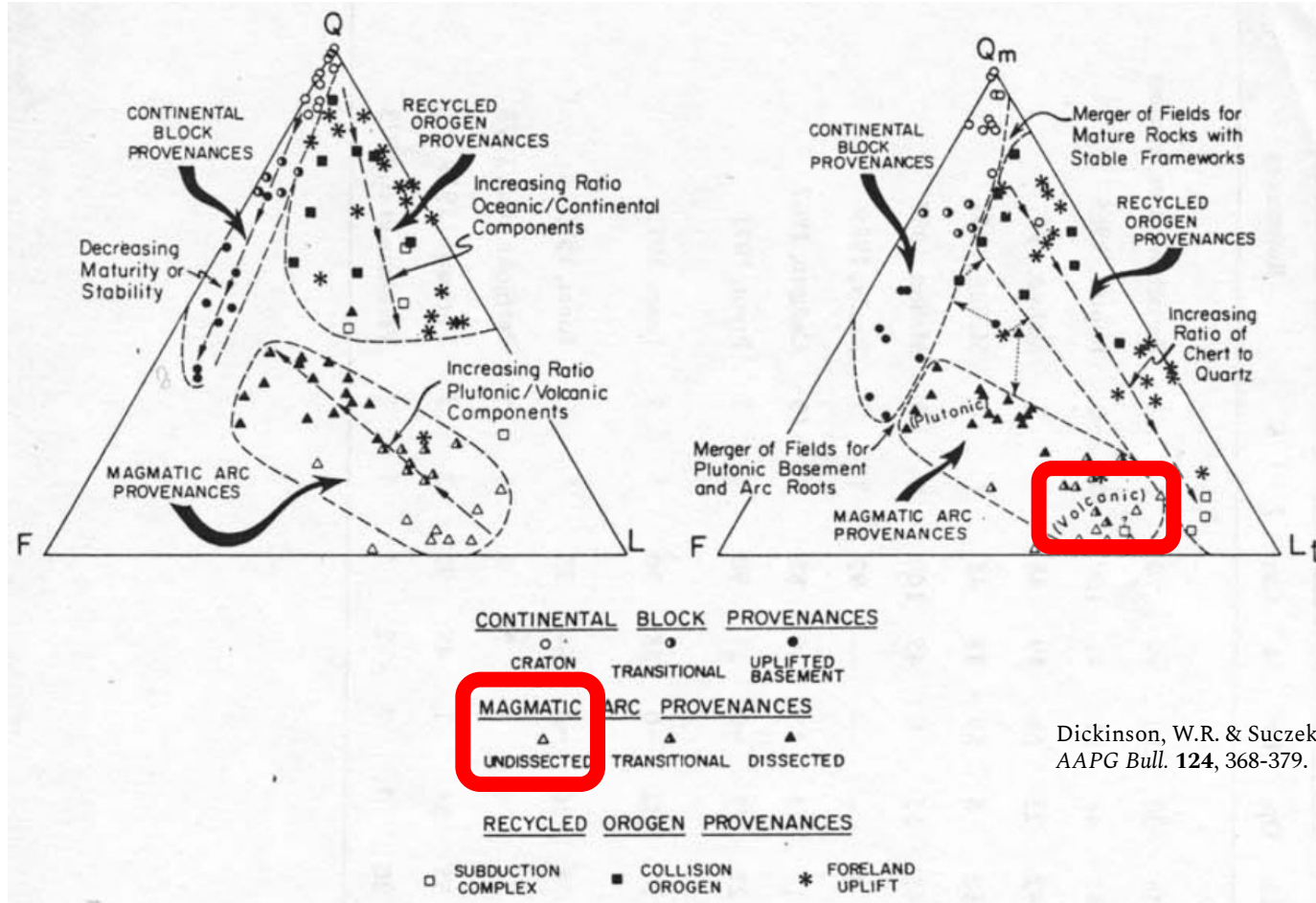


Subsidença mecânica e térmica, beta Crosta=1.4
beta Manto=10.0



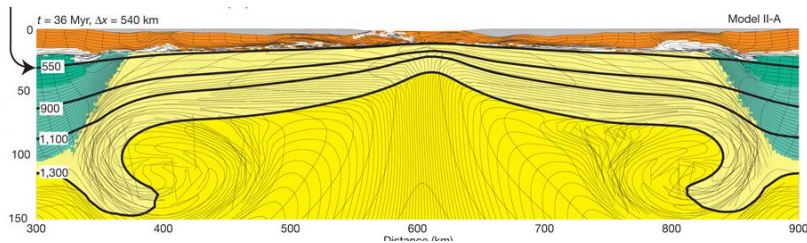
Klepeis, K.A. (2003) *GSA Today* Jan, 4-11.

Implicações para proveniência

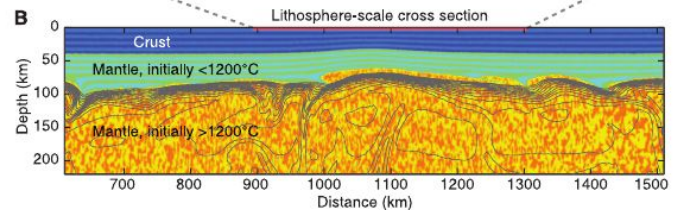
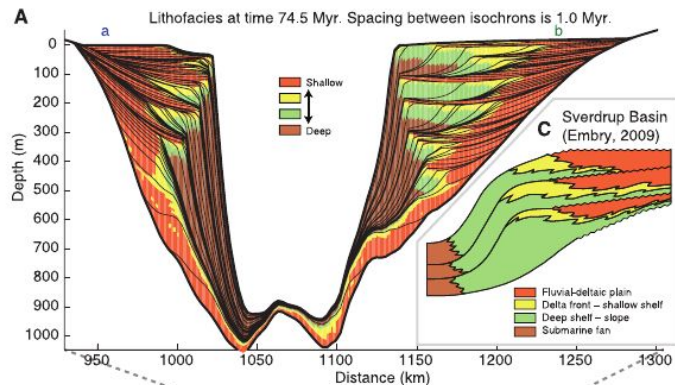


Dickinson, W.R. & Suczek, C.A. (1979)
AAPG Bull. **124**, 368-379.

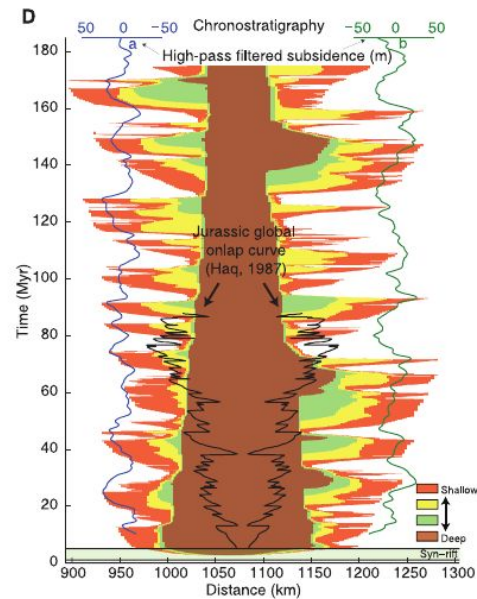
Efeitos da convexão de pequena escala



Huismans, R. & Beaumont, C. (2011) *Nature* **473**, 74-78.

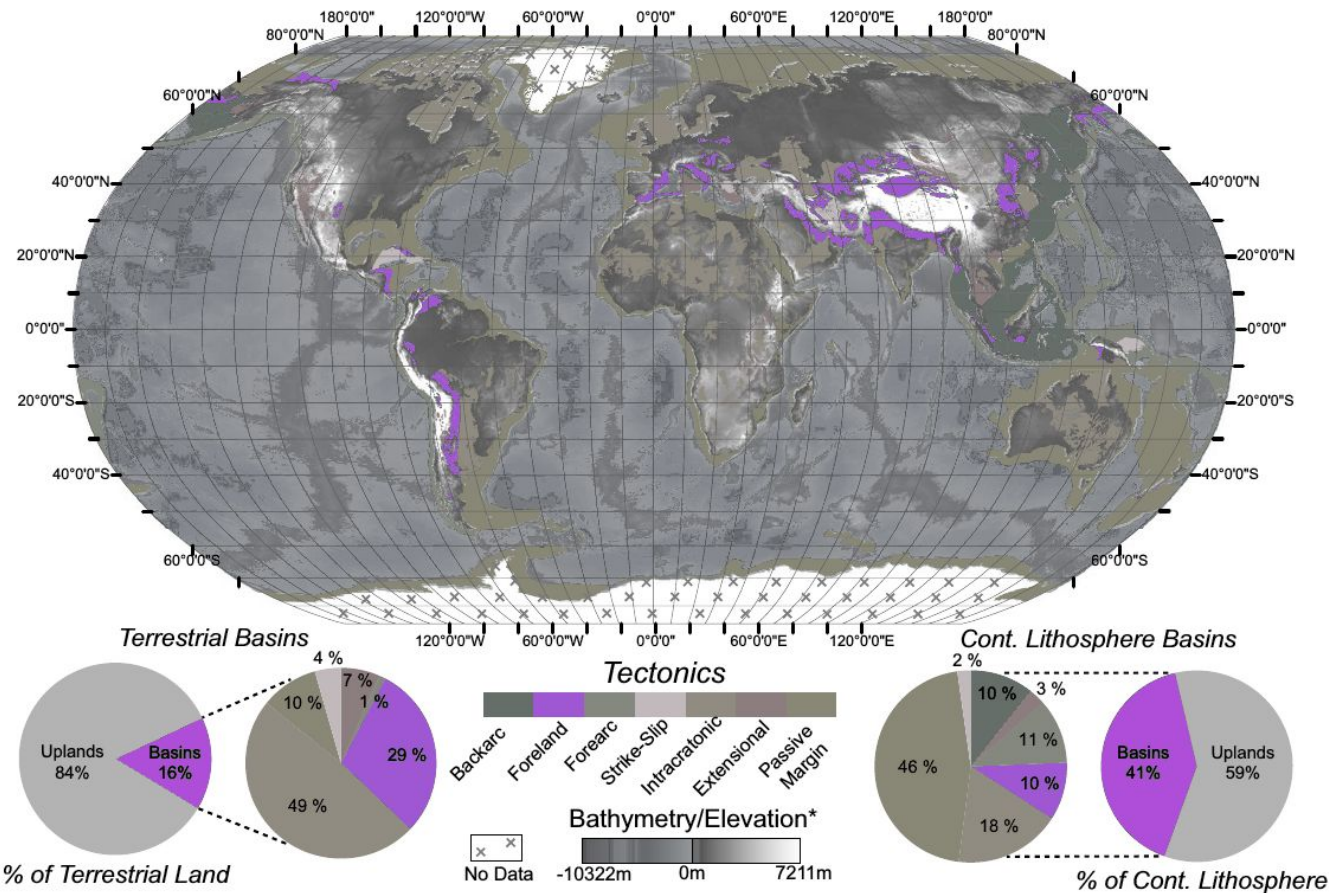


Petersen, K.D. et al. (2010) *Science* **329**, 827-830.



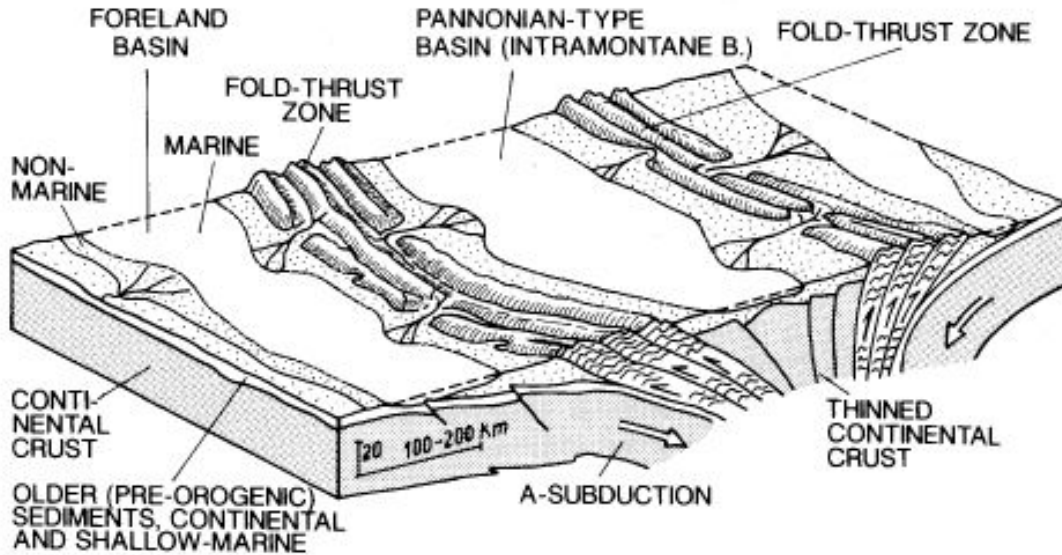
Bacias de antepaís

Modificado de:
Nyberg, B., Holwell, J.A. (2015)
Geology 43, 643-646.



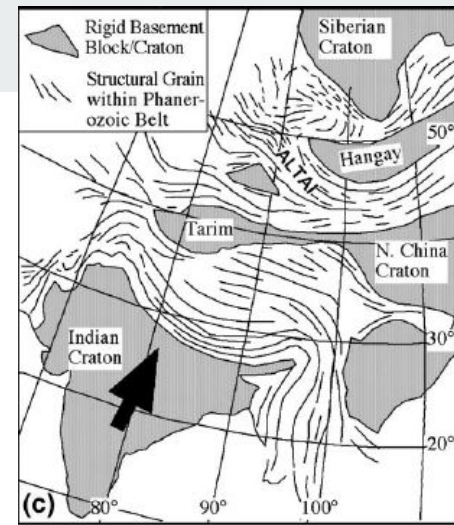
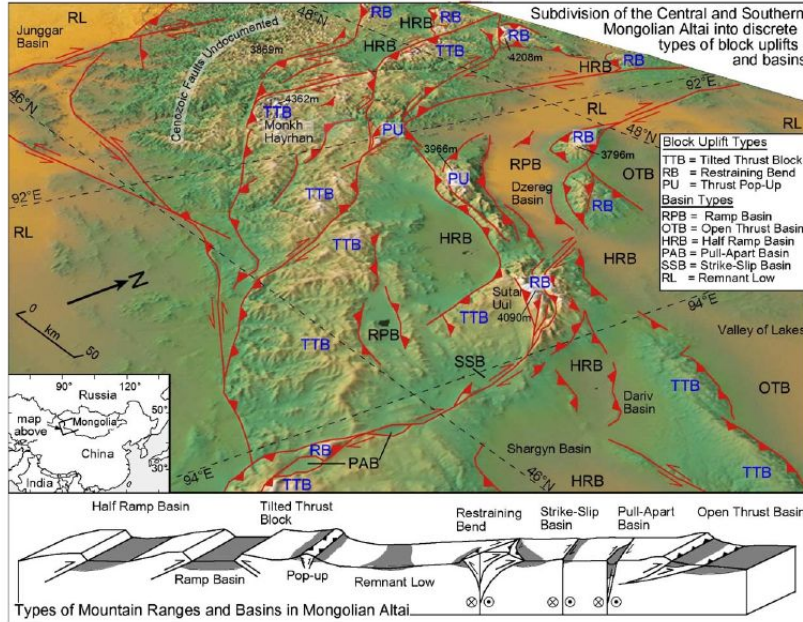
Bacias de Antepaís

a COLLISION-RELATED BASINS

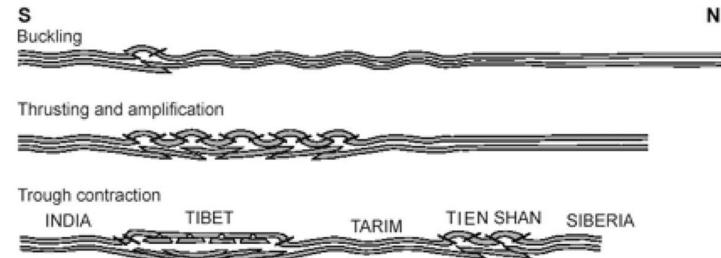


Einsele, G. 1992. Sedimentary Basins, Evolution Facies and Sediment Budget. 2 ed, Springer, 792 p.

Bacias flexurais intra-placa



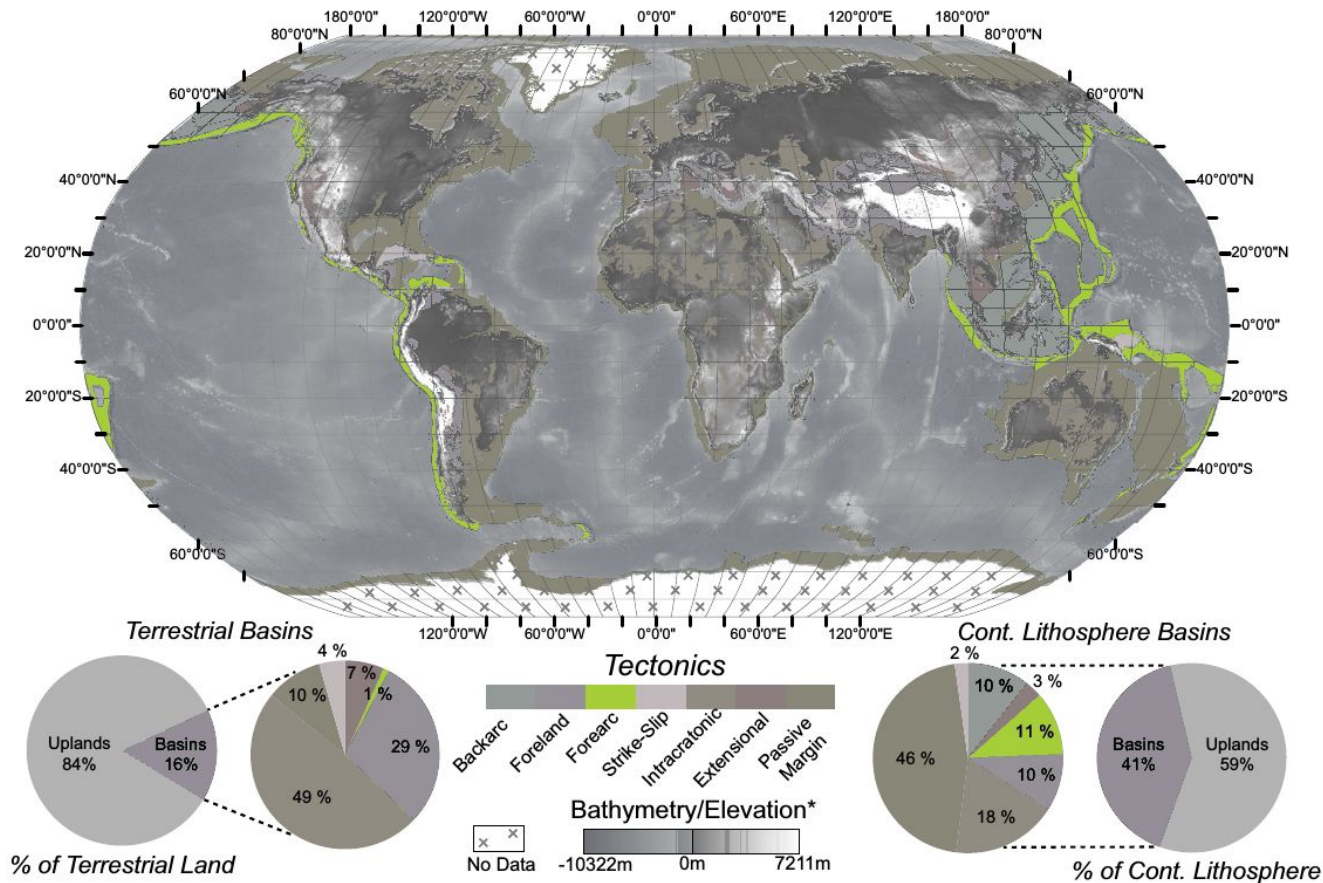
Cunningham, D. (2005)
Earth Planet. Sci. Lett. **240**, 436-444.



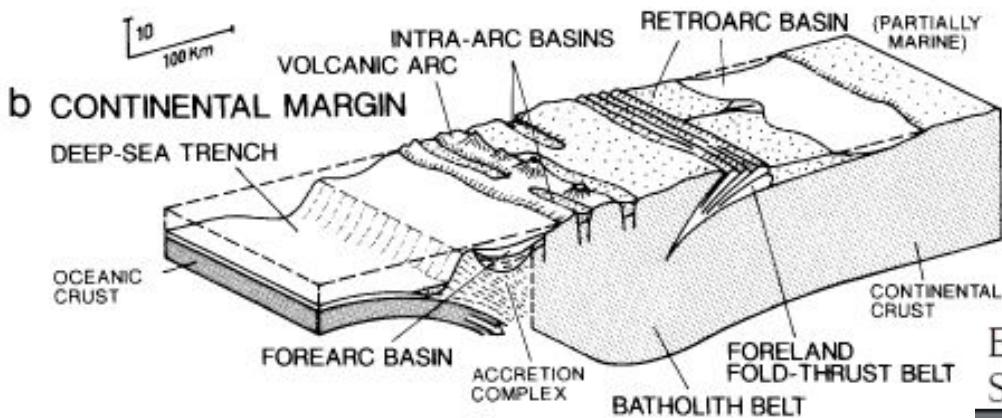
Dickerson, P.W. (2003)
Tectonophysics **365**,
 129-142.

Bacias de ante-arco

Modificado de:
Nyberg, B., Holwell, J.A. (2015)
Geology **43**, 643-646.

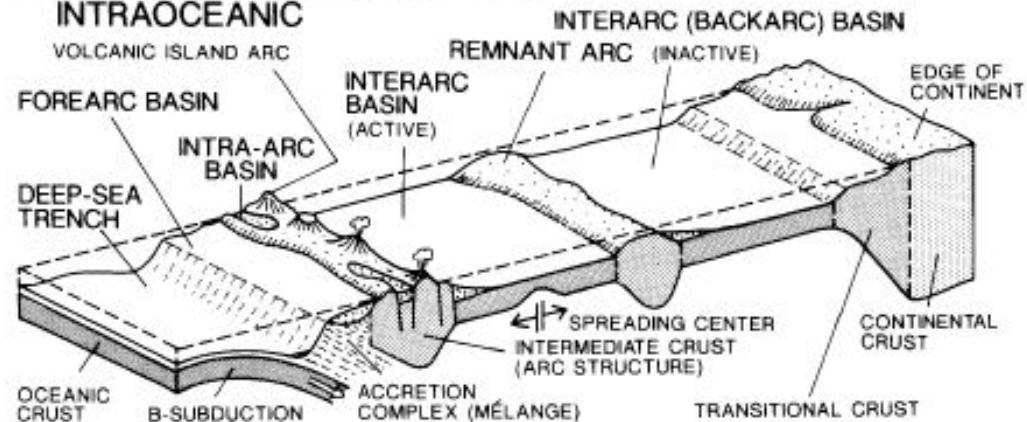


Bacias de Antearco



Einsele, G. 1992. Sedimentary Basins, Evolution Facies and Sediment Budget. 2 ed, Springer, 792 p.

a SUBDUCTION-RELATED BASINS, INTRAOCEANIC



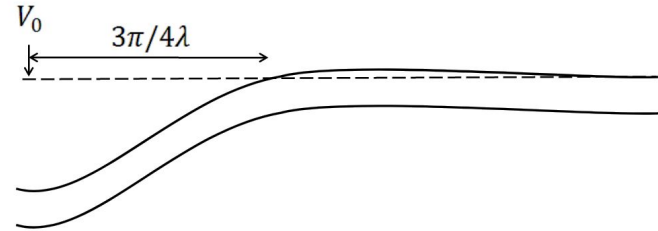
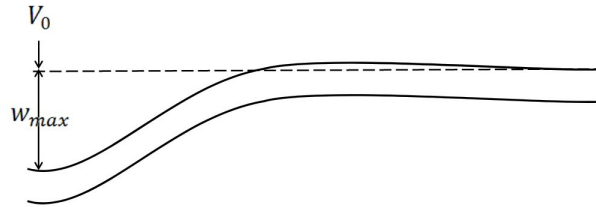
Processos geodinâmicos

$$D = \frac{E T_e^3}{12(1-\nu^2)}$$

$$\lambda = \left[\frac{(\rho_m - \rho_r)g}{4D} \right]^{1/4}$$

$$w = \frac{V_0 \lambda}{2(\rho_m - \rho_r)g} e^{-\lambda x} (\cos \lambda x + \sin \lambda x)$$

$$x = 0, \quad w = w_{max} = \frac{V_0 \lambda}{2(\rho_m - \rho_r)g}$$



D = rigidez flexural
 ρ_m = densidade do manto
 ρ_r = densidade do preenchimento
 E = módulo de Young
 T_e = espessura elástica
 ν = coeficiente de Poissons

Cálculos baseados em:

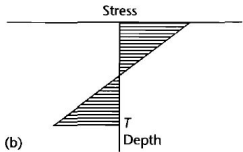
Turcotte, D. & Schubert, G. (1982)
Geodynamics.

Nadai, A (1963) *The theory of
flow and fracture of solids, vol. 2.*

Rigidez flexural e resistência

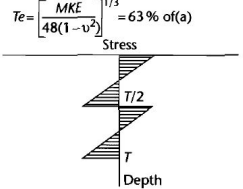
(a)
$$M = \frac{ETe^3K}{12(1-\nu^2)}$$

$$Te = \left[\frac{MKE}{12(1-\nu^2)} \right]^{1/3}$$

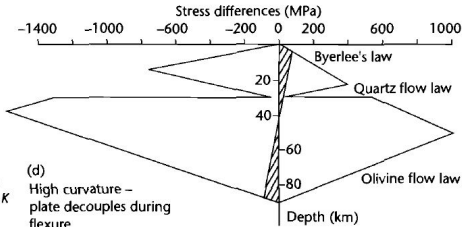


(b)
$$M = \frac{E}{12(1-\nu^2)} \left[\frac{Te^3}{2} + \left(\frac{Te^3}{2} \right) \right] K = \frac{E}{12(1-\nu^2)} \frac{Te^3}{4} K$$

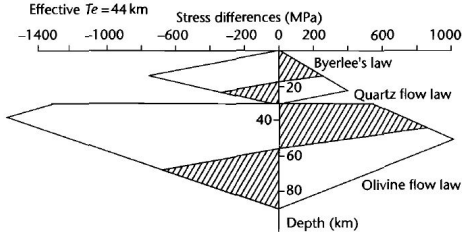
$$Te = \left[\frac{MKE}{48(1-\nu^2)} \right]^{1/3} = 63\% \text{ of (a)}$$



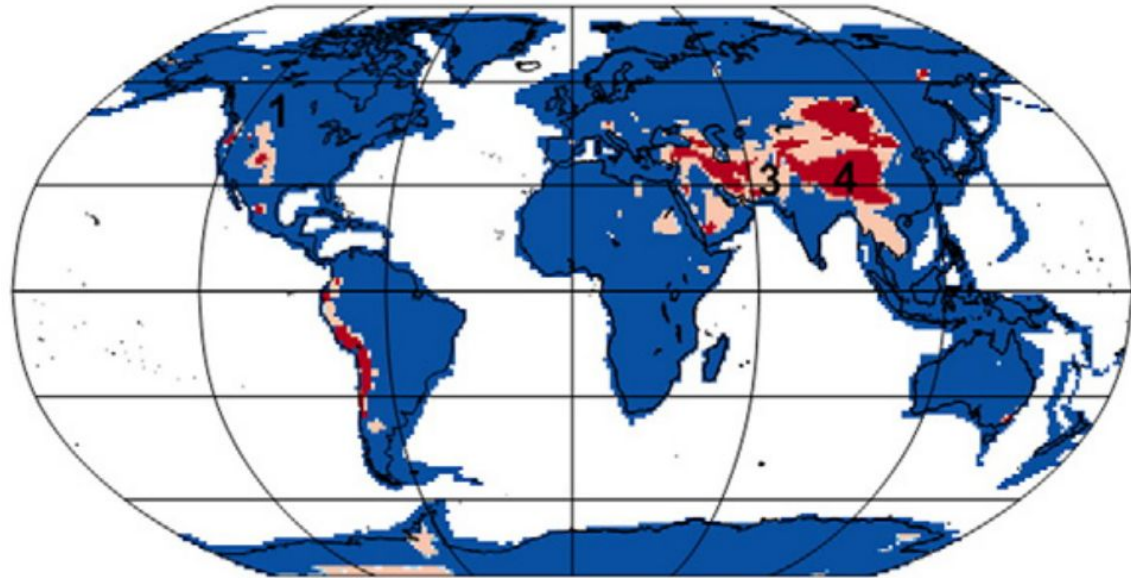
(c) Low curvature – flexes as a whole
Effective $Te = 89 \text{ km}$



(d) High curvature –
plate decouples during
flexure
Effective $Te = 44 \text{ km}$



Crosta acoplada (azul) e desacoplada (vermelho)



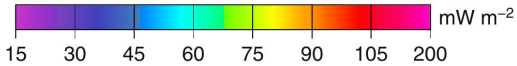
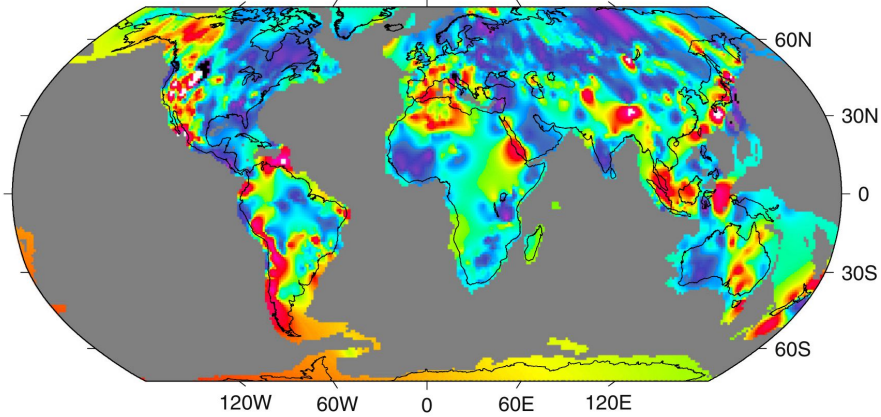
McNutt, M.K. et al. (1988)
J. Geophys. Res. **93**, 8825-8838.

Allen, P.A. & Allen, J.R. (2013) *Basin Analysis* 3rd ed. 632 p.

Tesauro, M. et al. (2013)
Tectonophysics **602**, 78-86.

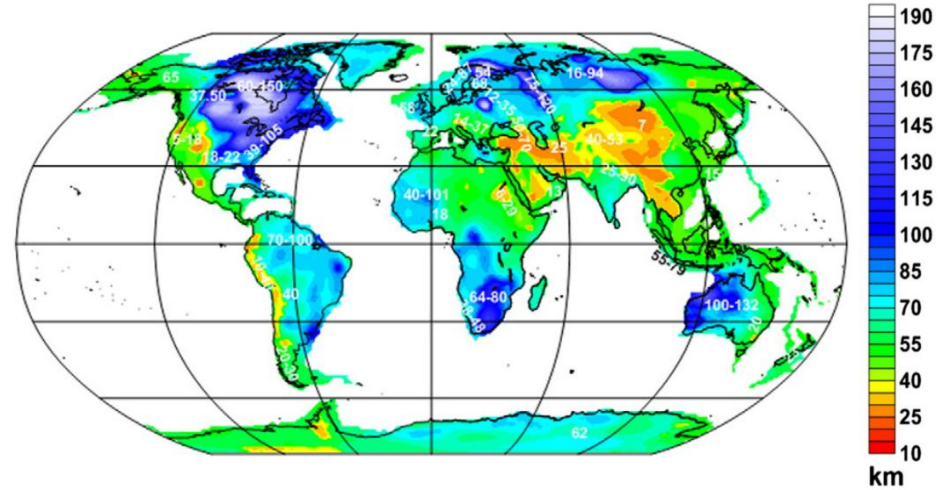
Rigidez flexural e temperatura

Fluxo térmico

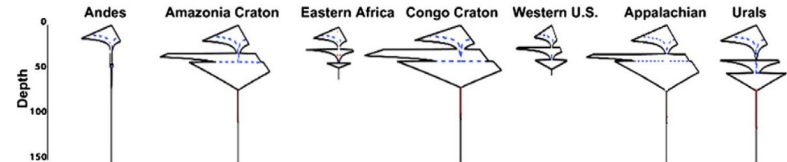


Jaupart, C. et al. (2016)
Lithos **262**, 398-427.

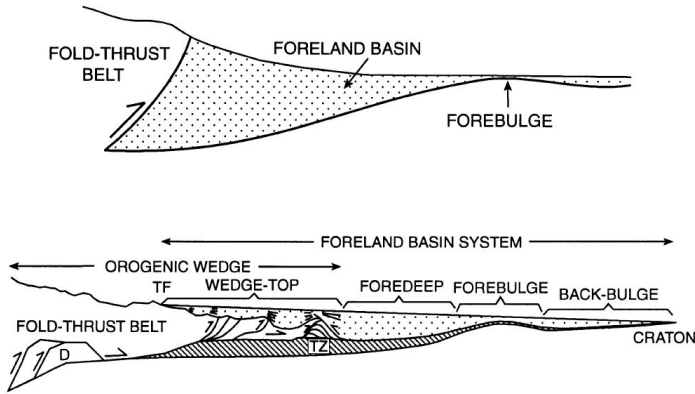
Rigidez flexural



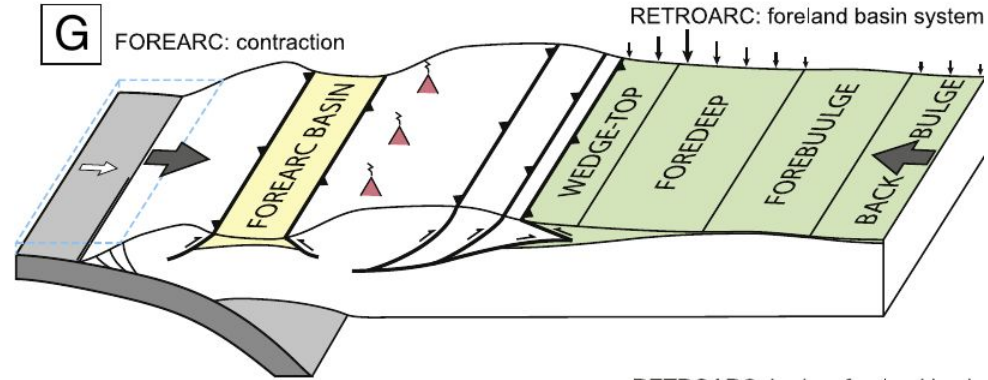
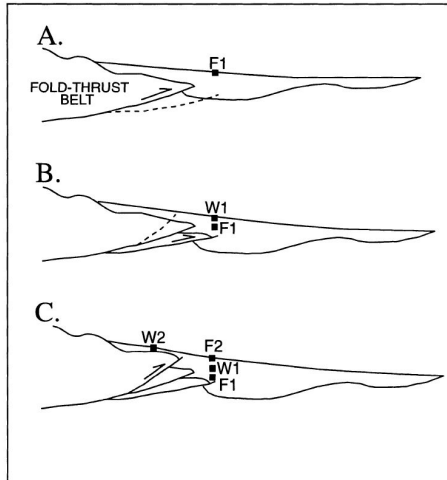
Tesauro, M. et al. (2013)
Tectonophysics **602**, 78-86.



Flexura e falhas



DeCelles, G., Giles, K.A. (1996) *Basin Res.* **8**,105-123.



Horton, B.K. (2018) *Earth-Sci. Rev.* **178**,279-309.

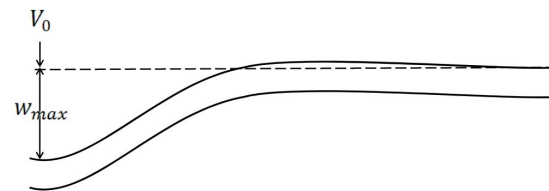
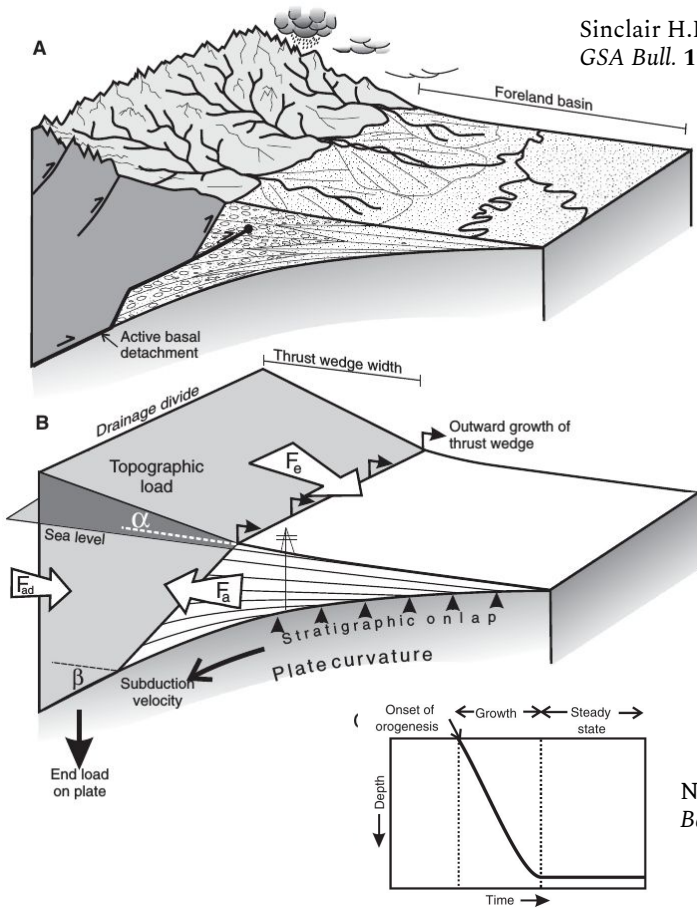
"Compressão do ante-arco gera bacias relacionadas a cavalgamentos ou **falhas inversas que induzem subsidência flexural**"

Rigidez flexural e topografia

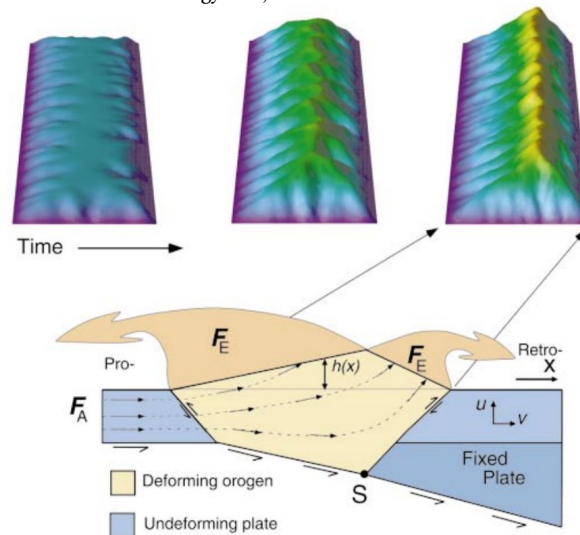
$$w = \frac{V_0 \lambda}{2(\rho_m - \rho_r)g} e^{-\lambda x} (\cos \lambda x + \sin \lambda x)$$

$$x = 0, \quad w = w_{max} = \frac{V_0 \lambda}{2(\rho_m - \rho_r)g}$$

Sinclair H.D. & Naylor, M. (2012)
GSA Bull. 124, 368-379.



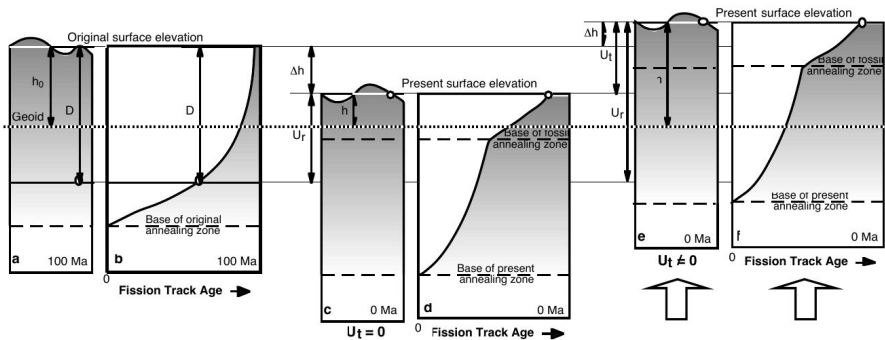
Willet, S.D. & Brandon M.T. (2002)
Geology 30,175-178.



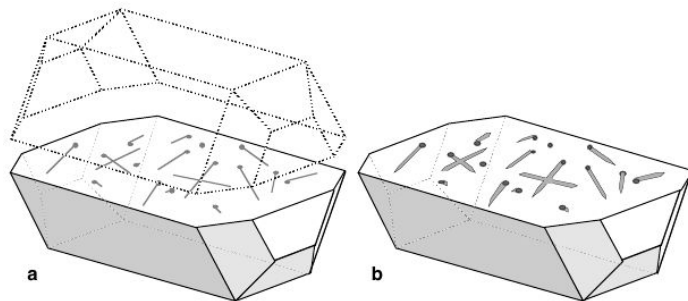
Naylor, M. & Sinclair H.D. (2008)
Basin Res. 20, 285-303.

Denudação

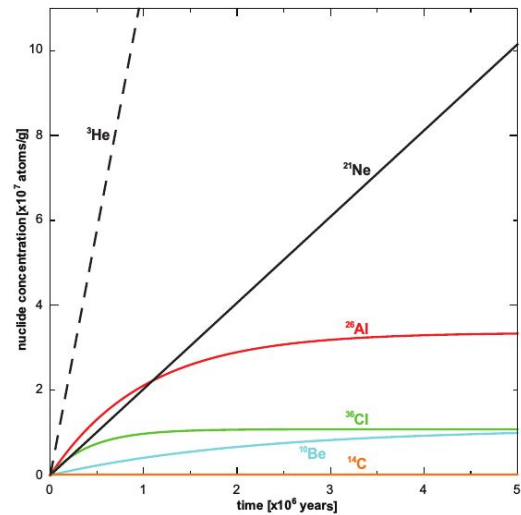
Termocronologia



Gleadow, A.J.W & Brown R.W. (2000) in Summerfield, M.J. *Geomorphology and Global Tectonics*. 57-75.



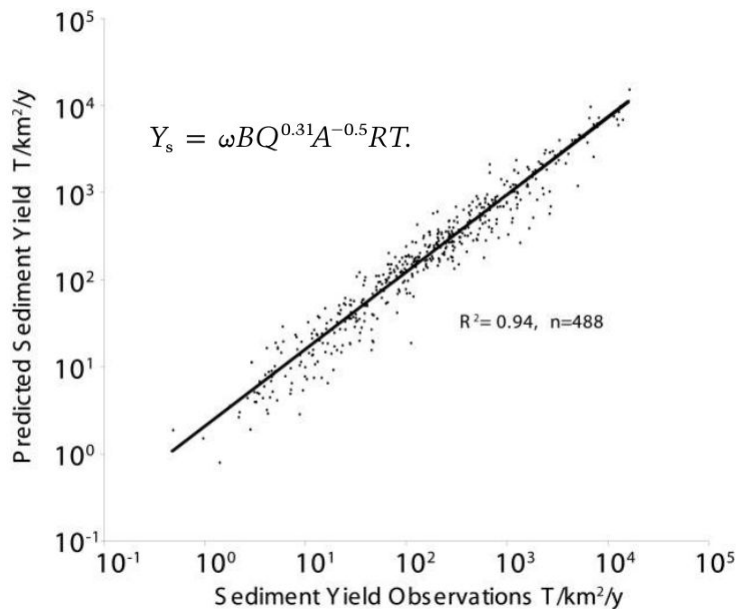
Nuclídeos cosmogênicos e datação de superfícies



Ivy-Ochs, S. & Kober, F. (2008) *Quat. Scy. J.* 57,157-189.

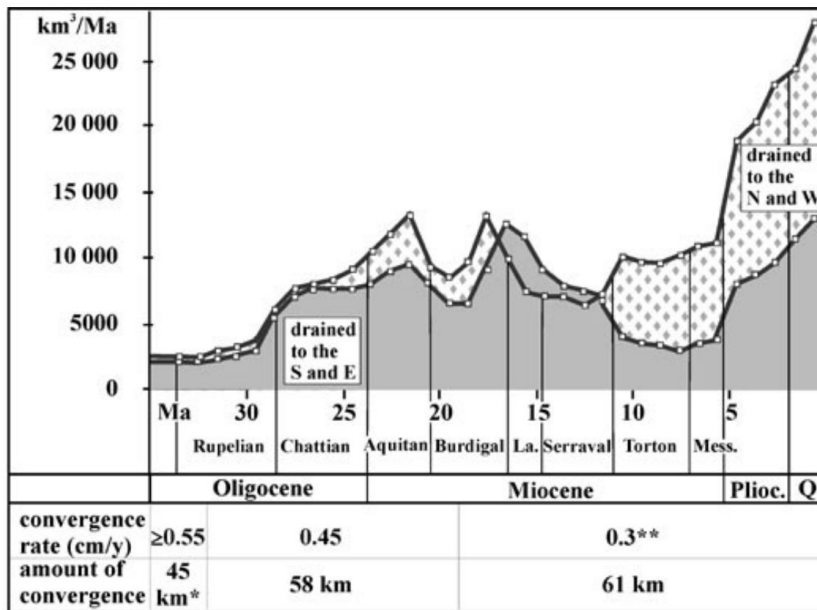
Produção sedimentar

Bacias de drenagem



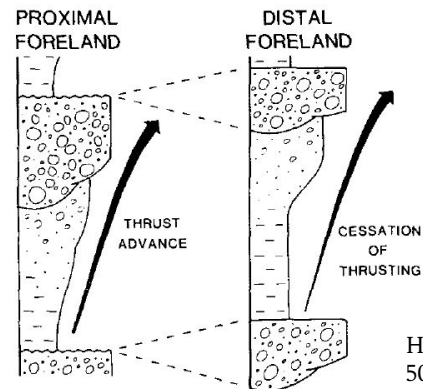
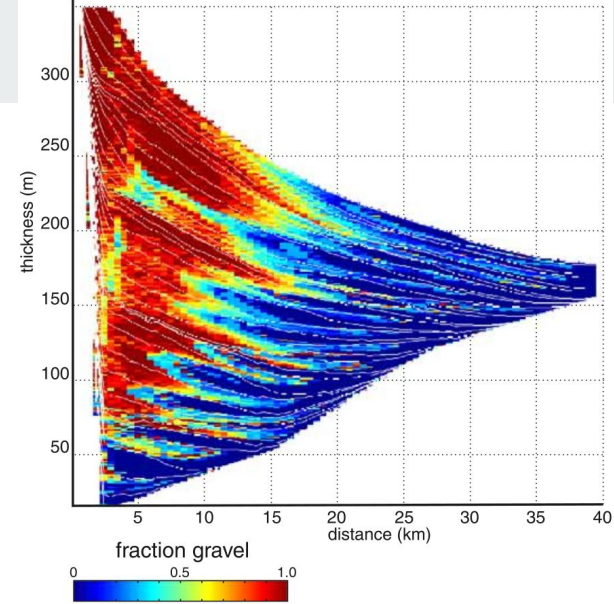
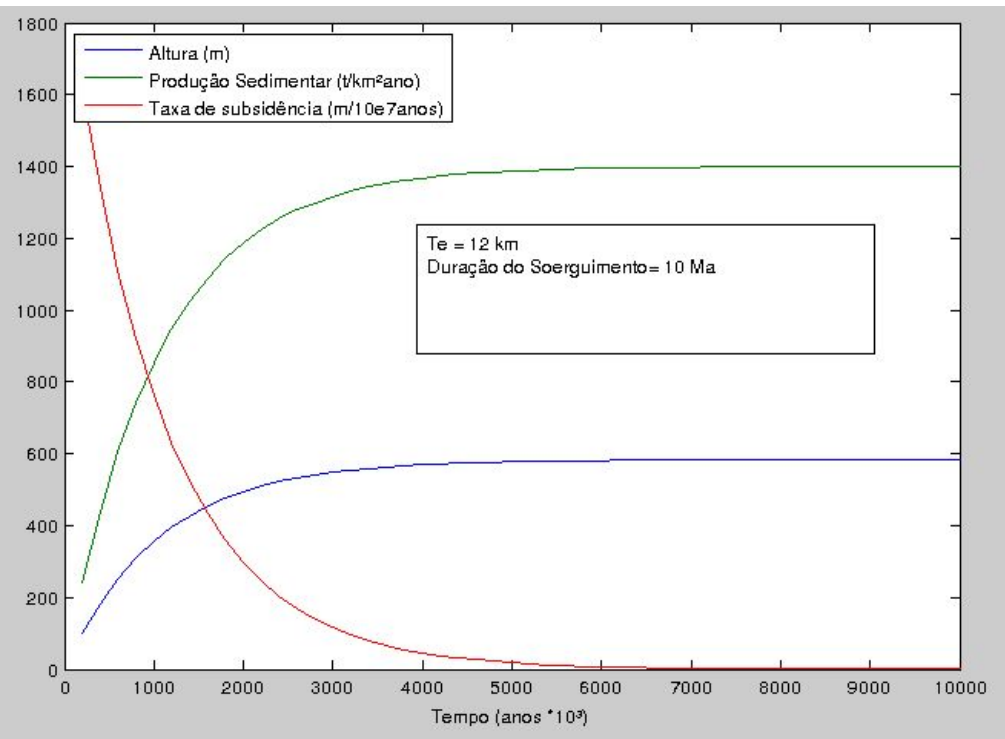
Syvitski, J.P.M. & Milliman, J.D. (2007)
J. Geol. **115**, 1-19.

Taxas de caumulação na bacia



Spiegel et al. (2004) *GSA Spec. Papers.* **378**, 37-50.

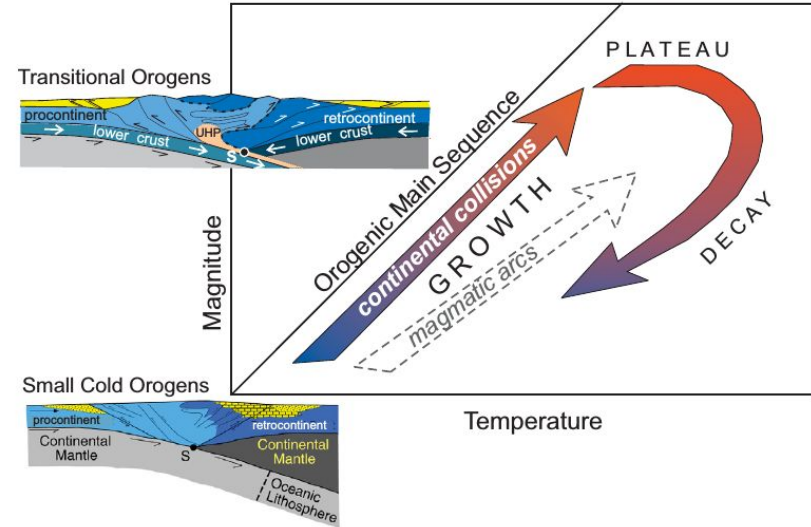
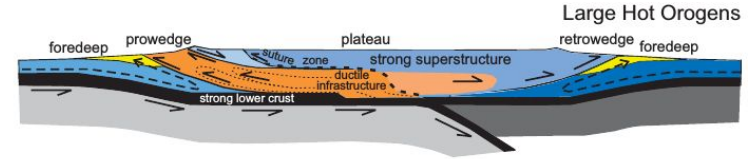
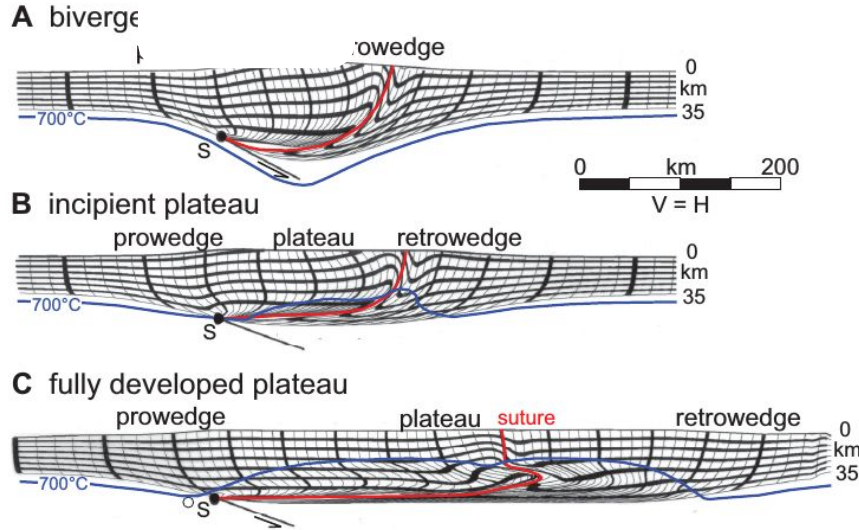
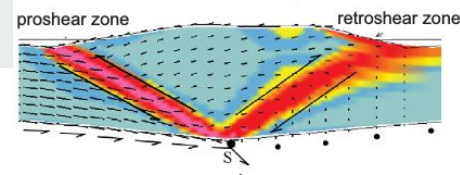
Subsidência e aporte



Clevis, Q. et al. (2003) *Sed. Geol.* **163**, 85-110.

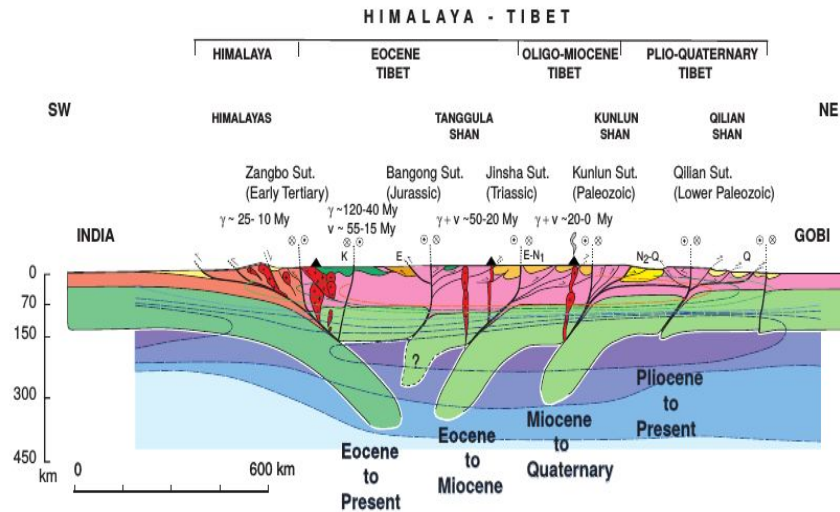
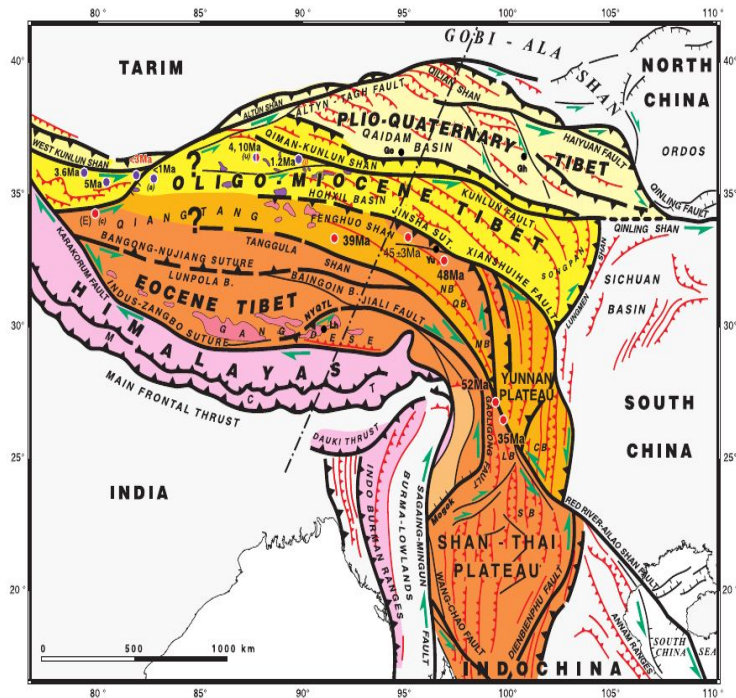
Heller, P.L. et al. (1988) *Geology* **16**, 501-504.

1- Evolução da cunha orogênica



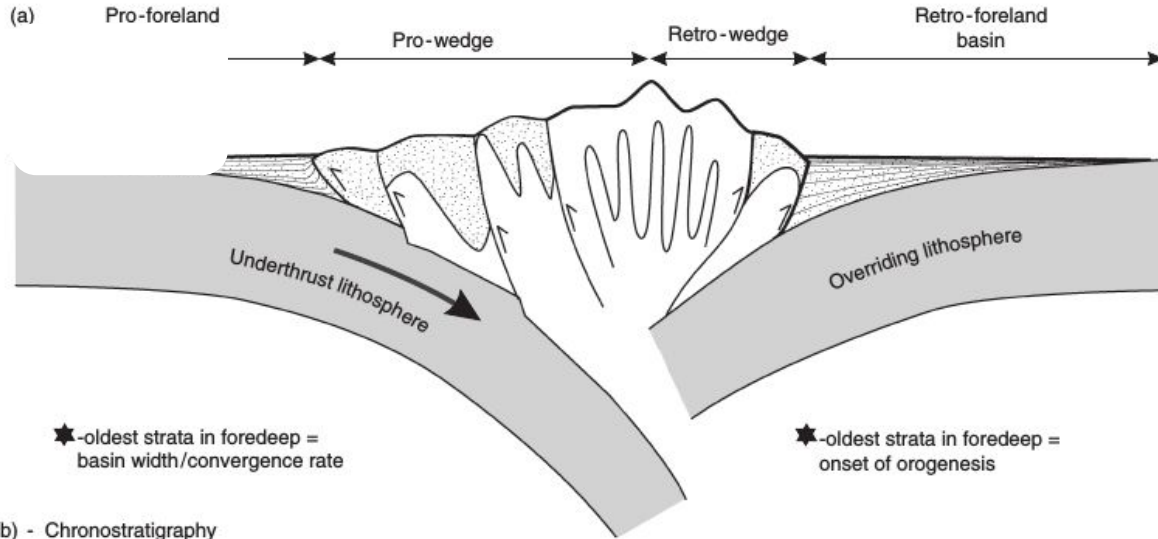
Jamieson, R.A. & Beaumont C. (2013)
GSA Bull. 125, 1671-1702.

Evolução do antepaís - Orógenos quentes

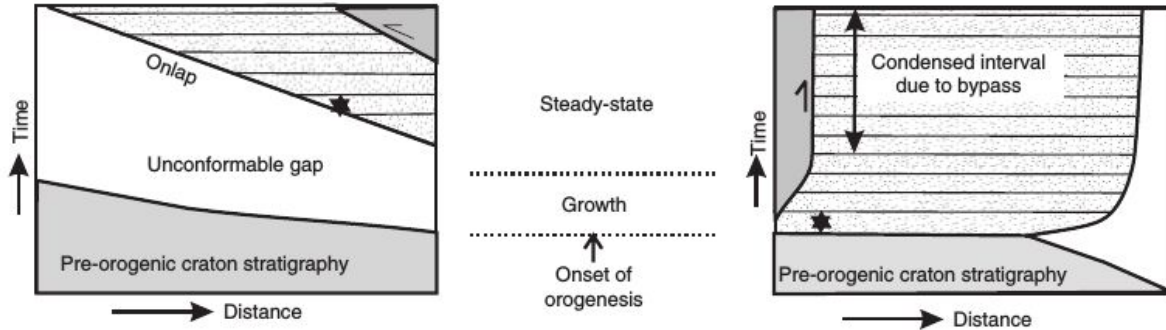


Tapponnier, P. et al., (2001)
Science. 294, 1671-1677.

Implicações estratigráficas

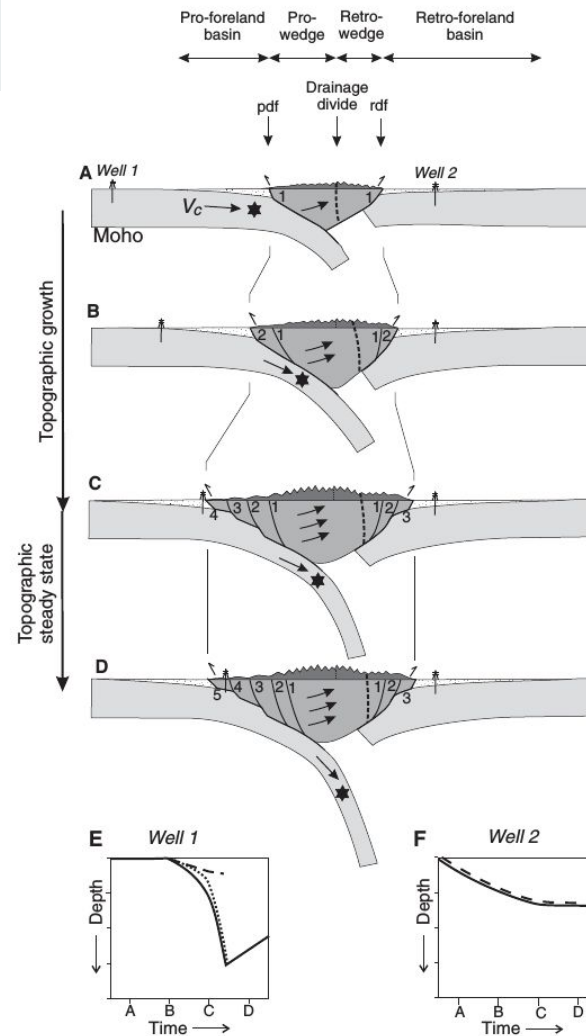


(b) - Chronostratigraphy



Naylor, M. & Sinclair H.D. (2008)
Basin Res. **20**, 285-303.

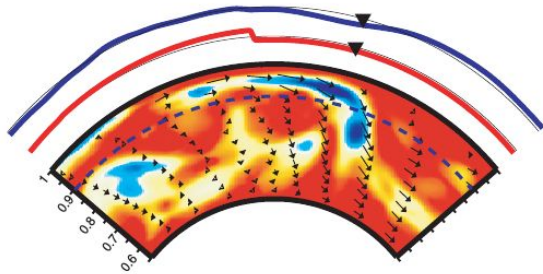
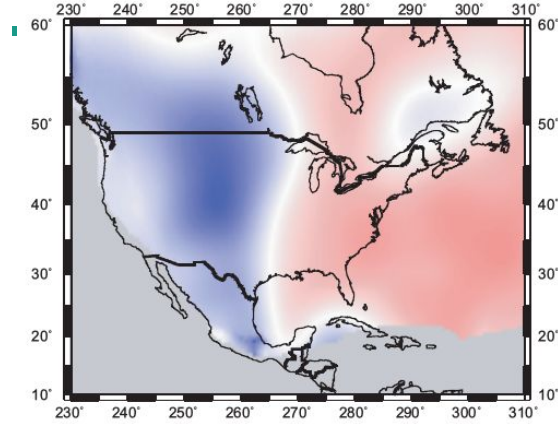
2- Infra-carga de subducção



Sinclair H.D. & Naylor, M. (2012)
GSA Bull. **124**, 368-379.

3- Topografia dinâmica

70 Ma



Flament, N. et al. (2013)
Lithosphere 5, 189-210.

Flament, N. et al. (2015)
Earth Planet. Sci. Lett. 430, 9-18.

